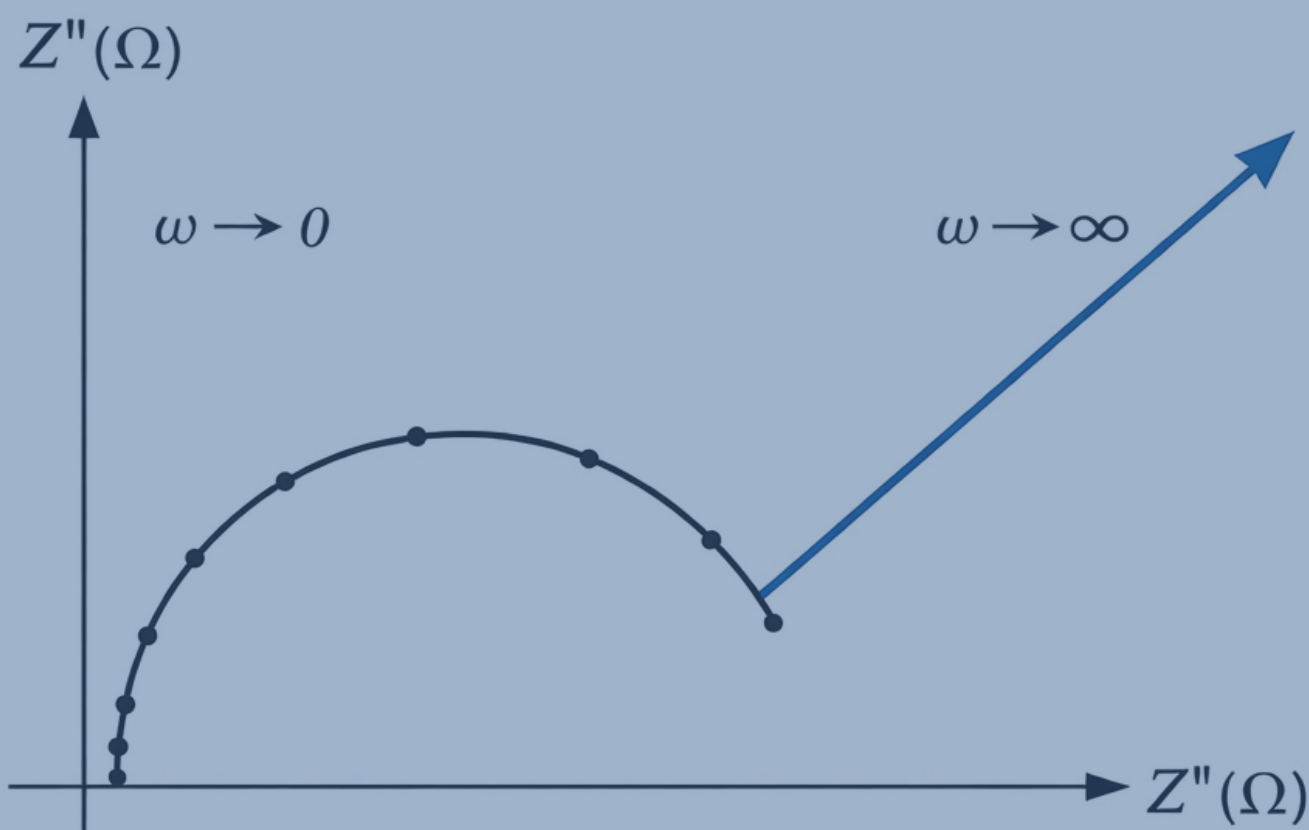


Электрохимический импеданс

для электрохимиков

Практическое руководство



Alex Lugovskoy

Электрохимический импеданс

для электрохимиков

Практическое введение

2026

Перевод с английского

© Алекс Луговской, 2026

Настоящий материал распространяется на условиях лицензии Creative Commons Attribution 4.0 International (CC BY 4.0).

DOI: 10.5281/zenodo.19151752

Все права защищены.

Книга предназначена для образовательных и исследовательских целей.

Благодарности

Автор выражает признательность за использование инструментов искусственного интеллекта, включая ChatGPT и Claude, при подготовке настоящей книги.

Воспроизведение, хранение или передача любой части настоящего издания в любой форме без предварительного разрешения автора не допускаются.

Оглавление

Оглавление	5
Предисловие	8
Глава 1. Что такое электрохимический импеданс?	9
1.1. Концепция	9
1.2. Определения импеданса	12
1.3. Импеданс основных пассивных элементов	13
Глава 2. Более детальное рассмотрение электрохимического импеданса	15
2.1. Представления Найквиста и Боде	15
2.2. Нотация Букампа для эквивалентных схем	16
2.3. Кинетика процессов и характеристические времена	18
Характеристическое время	18
Кинетика переноса заряда	19
Диффузия и процессы массопереноса	19
Несколько процессов в одном импедансном спектре	19
Связь между частотой и временным масштабом процесса	20
Глава 3. Концепция эквивалентной схемы	21
Глава 4. Специальные элементы схем	22
4.1. Элемент Варбурга (W)	22
4.2. Элемент постоянной фазы, CPE (Q)	23
Геометрическая интерпретация	23
Полубесконечный Варбург (идеальная диффузия)	24
Конечный Варбург (ограниченная диффузия)	24
Поведение при различных частотах	24
Высокие частоты	24
Низкие частоты	24
4.3. Импеданс Геришера	25
4.4. Индуктивная петля	25
4.5. Модель распределенной линии	26
4.6. Импедансы основных элементов эквивалентных схем	26
Глава 5. Типичные эквивалентные схемы	27

5.1. Ячейка Рэндлса, $R(CR)$	27
5.2. Диффузионно-контролируемые процессы, $R(C(RW))$	28
Практическое диагностическое правило	29
5.3. Процесс с двумя постоянными времени, $R(C(R(CR)))$	29
5.4. Искажённые случаи	31
Глава 6. Расчёт импеданса системы	32
Глава 7. Практические условия измерений	33
7.1. Линейность	33
7.2. Стабильность системы	34
7.3. Причинность	34
7.4. Конечность отклика	34
7.5. Внутренняя согласованность данных	34
7.6. Практический контрольный список	34
Перед интерпретацией импедансного спектра рекомендуется убедиться в выполнении следующих условий:	35
7.7. Типичные ошибки при измерениях электрохимического импеданса	35
Глава 8. Валидация импедансных данных: соотношения Крамерса–Кронига	36
8.1. Физический смысл соотношений Крамерса–Кронига	36
8.2. Математическая форма	36
8.3. Практическая интерпретация	36
8.4. Типичные причины нарушений соотношений Крамерса–Кронига	37
8.5. Роль валидации по критерию Крамерса–Кронига в импедансном анализе	37
8.6. Практическое замечание	37
Глава 9. Практический рабочий процесс	37
9.1. Стабилизация электрохимической системы	37
9.2. Выбор диапазона частот	38
9.3. Приложение малого переменного возмущения	38
9.4. Запись импедансного спектра	38
9.5. Анализ графиков Найквиста и Боде	38
9.6. Валидация по критерию Крамерса–Кронига	39
9.7. Выбор эквивалентной схемы	39

9.8. Выбор подгоночных параметров	39
9.9. Интерпретация физического смысла	39
Глава 10. Как не переинтерпретировать импедансные спектры	39
Эквивалентные схемы — это модели, а не механизмы	40
Хорошая аппроксимация не гарантирует правильной интерпретации	40
Важность независимых данных	40
Постоянные времени важнее, чем отдельные элементы схемы	40
Импеданс как элемент широкого инструментария	41
Заключительное замечание	41
Импедансный спектр редко доказывает механизм — зато нередко позволяет исключить многие невозможные.	41
Приложение. Распознавание особенностей графиков Найквиста и Боде	42
Идеальные предельные случаи	42
Случай 1. Идеальная полуокружность — кинетика переноса заряда	42
Случай 2. Линия под углом 45° — чистый диффузионный контроль (полубесконечный Варбург)	43
Случай 3. Вертикальная линия — идеально поляризуемый (блокирующий) электрод	43
Искажённые случаи	44
Случай 4. Уплощённая полуокружность — неидеальная ёмкость (поведение CPE)	44
Случай 5. Две полуокружности — два разделённых постоянных времени	45
Случай 6. Индуктивная петля — адсорбция или релаксационные процессы	46
Смешанные случаи	47
Случай 7. Полуокружность + линия 45° — смешанный кинетически-диффузионный контроль	47
Случай 8. Полуокружность + линия 45° + вертикальная линия — конечная диффузия (проницаемая граница)	48
Случай 9. Конечный Варбург (отражающий) — диффузия в ограниченном слое	48
Случай 10. Импеданс Геришера — диффузия с гомогенной химической реакцией	50

Предисловие

Электрохимическая импедансная спектроскопия (EIS) — один из наиболее мощных инструментов современной электрохимии. Она позволяет исследовать электродные процессы, перенос заряда, диффузию, явления адсорбции и свойства электрохимических межфазных границ.

Вместе с тем многие студенты сталкиваются с парадоксом при первом знакомстве с импедансным анализом: литература по данной теме обширна, математически сложна и нередко с трудом поддается связи с реальной экспериментальной работой.

Большинство существующих учебников написано либо для инженеров-электриков, либо для теоретических физиков. В результате практикующие электрохимики нередко затрудняются с ответами на такие конкретные вопросы:

- С какой эквивалентной схемы лучше начать?
- Что в действительности означает полуокружность?
- Почему спектр меняется при изменении диапазона частот?
- Как проверить достоверность спектра?

Настоящая книга представляет собой попытку ответить на эти вопросы, используя максимально простой язык и не теряя при этом физического смысла рассматриваемых процессов.

Благодарности

Автор выражает признательность за использование инструментов искусственного интеллекта — OpenAI и Anthropic (Claude) — при подготовке настоящей книги. Большие языковые модели применялись для совершенствования языка, структурирования материала, создания иллюстраций и формулировки объяснений.

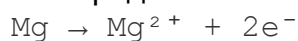
Вся техническая составляющая, интерпретации и окончательные решения остаются ответственностью автора.

Автор также признателен коллегам и студентам, чьи импедансные спектры упорно отказывались соответствовать учебным образцам — тем самым вынуждая автора действительно разобраться в происходящем.

Глава 1. Что такое электрохимический импеданс?

1.1. Концепция

Химики обычно описывают химическую реакцию как превращение, при котором реагенты преобразуются в продукты. Такие превращения удобно записывать в виде химического уравнения. Так, например, анодное окисление магниевого электрода обычно записывается следующим образом:



Однако реакцию, особенно электрохимическую, можно рассматривать и с другой точки зрения — с позиции электричества. При любом процессе окисления или восстановления происходит перенос электрического заряда. Движение электрического заряда — это именно то, что мы называем электрическим током.

Таким образом, электрохимическая реакция неразрывно связана с электрическим током. Если перенос заряда происходит с определённой скоростью, мы можем говорить либо о скорости химической реакции, либо о величине электрического тока. Чем больше ток, тем быстрее протекает химическая реакция.

[Рисунок: Рисунок 1. Различные аспекты процесса окисления магния]

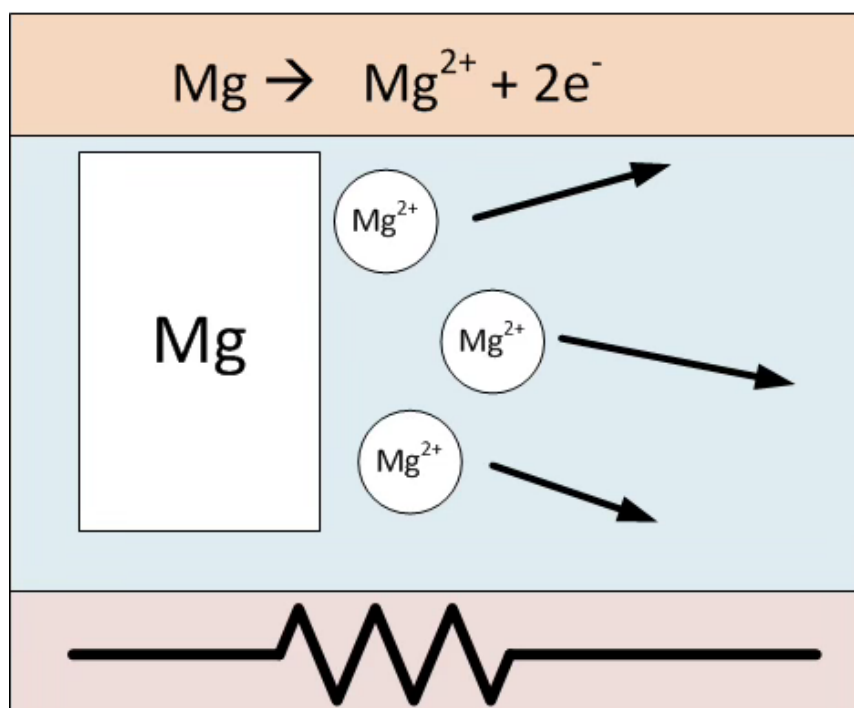


Рисунок 1. Различные представления процесса окисления магния

В электрических цепях ток и разность потенциалов связаны через сопротивление (закон Ома). По этой причине электрохимическую систему

нередко можно представить в виде электрической цепи, состоящей из резисторов, конденсаторов и, возможно, других элементов.

Если рассмотреть процессы в электрохимической системе, ряд классических пассивных элементов электрических цепей сразу же напрашивается в качестве естественных аналогий.

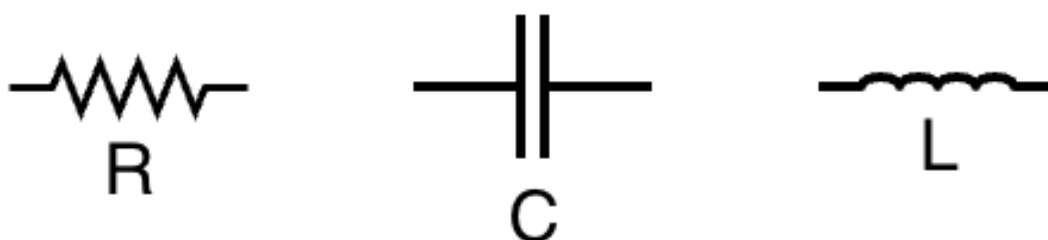


Рисунок 2. Основные пассивные элементы (R, C, L)

Первый — резистор R, представляющий сопротивление протеканию электрического тока. В электрохимических системах такое сопротивление может возникать как минимум по двум причинам.

Во-первых, оно может быть обусловлено затруднённым движением ионов через электролит. В этом случае мы называем его сопротивлением раствора, или сопротивлением электролита.

Во-вторых, сопротивление может быть связано с переносом заряда через поверхность электрода — то есть непосредственно с реакцией окисления или восстановления. В этом случае электрическое сопротивление отражает энергетический профиль реакции, включая потенциальный барьер, энергию активации и другие понятия, хорошо известные из химической кинетики.

Если теперь обратить внимание на область вблизи границы раздела электрода и электролита, обнаруживается ещё одно важное явление. Концентрация ионов вблизи электрода нередко отличается от их концентрации в объёме раствора.

Например, ионы могут образовываться в результате электродной реакции, тогда как другие покидают межфазную область.

С точки зрения электрики такое поведение напоминает поведение конденсатора C . Конденсатор сначала необходимо зарядить, а затем разрядить. При изменении разности потенциалов на его обкладках ток временно задерживается. Именно поэтому двойной электрический слой на границе раздела электрод–электролит принято моделировать как конденсатор.

Наконец, в электрохимических системах возможна адсорбция заряженных частиц на поверхности электрода. В этом случае концентрация этих частиц в растворе поначалу снижается по мере их адсорбции. Впоследствии, когда поступление частиц прекращается, процессы десорбции могут временно увеличить их концентрацию.

С точки зрения электрических цепей подобное поведение может в ряде случаев напоминать поведение катушки индуктивности L .

Идея описания электрохимических систем с помощью эквивалентных электрических схем оказалась чрезвычайно плодотворной. Она позволяет извлечь ценную информацию о системе и о процессах, протекающих на электроде.

Однако классические электрические схемы нередко предполагают постоянную разность потенциалов. В реальных электрохимических системах это условие выполняется редко. Вместо этого более корректно рассматривать как ток, так и потенциал как функции времени.

В этом случае отношение потенциала к току перестаёт быть простым сопротивлением в смысле закона Ома. Вместо этого оно становится более общей величиной, в которой и ток, и потенциал зависят от времени, причём их изменения не обязательно синхронны. Например, потенциал может возрастать в тот самый момент, когда ток убывает или остаётся неизменным.

Эта величина называется импедансом, или комплексным сопротивлением.

Импеданс — центральное понятие электрохимической импедансной спектроскопии (EIS).

1.2. Определения импеданса

Системы, в которых ток и потенциал зависят от времени, обычно моделируются с помощью тригонометрических функций — чаще всего синуса или косинуса. В этом подходе потенциал можно записать как синусоидальную функцию времени:

$$E(t) = E_0 \cdot \sin(\omega t)$$

Потенциал представляется как некоторая амплитуда потенциала, умноженная на синус произведения угловой частоты и времени.

Ток записывается аналогичным образом: как амплитуда тока, умноженная на синус частоты и времени. Однако эти две функции, как правило, не синхронизированы точно. Поэтому принято вводить сдвиг фаз в одну из них (неважно, в какую). Этот сдвиг фаз описывается углом φ .

$$i(t) = i_0 \cdot \sin(\omega t + \varphi)$$

Таким образом, потенциал и ток представляются синусоидальными сигналами, хотя в действительности их временная зависимость может иметь произвольную форму.

Существует теорема (вывод которой здесь не приводится), утверждающая, что любой произвольный сигнал может быть разложен в сумму тригонометрических синусоидальных функций, если использовать достаточно большое число таких составляющих.

Поэтому на практике замена реальных временных зависимостей токов и потенциалов синусоидальными сигналами обеспечивает достаточно точное описание системы.

В простой электрической цепи сопротивление определяется как:

$$R = U / i$$

где U — напряжение, i — ток.

В более сложной электрической цепи импеданс определяется почти так же:

$$Z(\omega) = E_0 \cdot \sin(\omega t) / [i_0 \cdot \sin(\omega t + \varphi)]$$

Обратите внимание: хотя и напряжение, и ток зависят от времени, импеданс зависит от частоты, а не от времени.

Электрохимические системы редко бывают чисто резистивными. Межфазные границы накапливают заряд и включают процессы массопереноса, например диффузию. В результате токовый отклик на приложенный потенциал нередко задерживается.

Очень часто тригонометрическое определение импеданса заменяют комплексным:

$$Z = Z' + jZ''$$

где $j = \sqrt{-1}$. (По устоявшейся традиции электрохимического импеданса квадратный корень из минус единицы обозначается через j , а не через i , как принято в остальных областях.)

В комплексном представлении импеданс определяется следующей формулой:

$$Z = (E_0 / i_0) \cdot e^{j\varphi}$$

1.3. Импеданс основных пассивных элементов

Основные уравнения для импеданса трёх главных пассивных элементов электрических цепей имеют следующий вид:

Сопротивление : $Z = R$,

Конденсатор: $Z = \frac{1}{j\omega t}$,

Индуктивность: $Z = j\omega t$.

При последовательном соединении нескольких импедансов их значения суммируются. При параллельном соединении суммируются обратные величины импедансов, и результат является обратной величиной суммарного импеданса. Как видно, это полностью аналогично правилам для сопротивлений:

$$Z_{series} = Z_1 + Z_2 + \dots$$

$$\frac{1}{Z_{parallel}} = \frac{1}{Z_1} + \frac{1}{Z_2} + \dots$$

Зная эти правила, суммарный импеданс достаточно сложной схемы можно рассчитать аналитически. Например, схема ячейки Рэндлса вычисляется следующим образом:

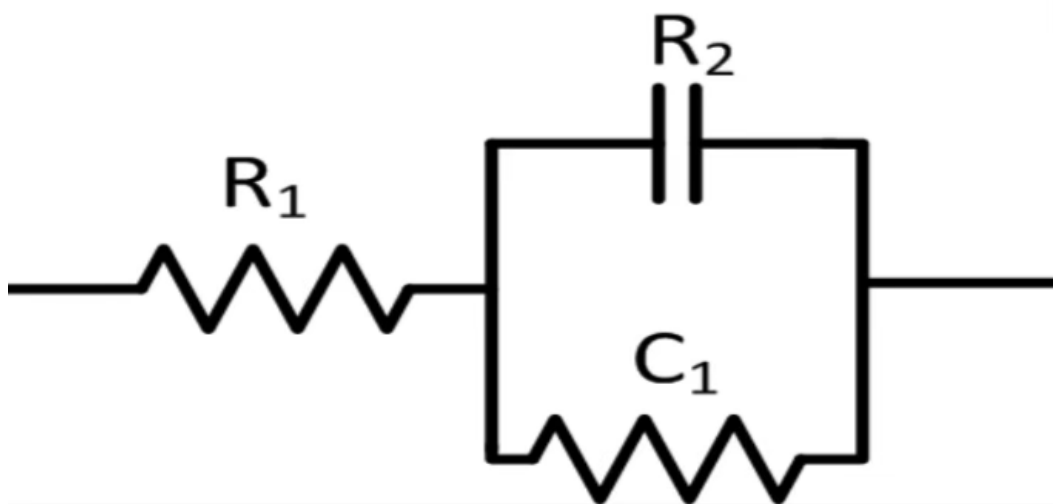


Рисунок 3. Ячейка Рэндлса

$$Z_{total} = Z_{R1} + Z_{R2+C1}$$

$$\frac{1}{Z_{R2+C1}} = \frac{1}{Z_{R2}} + \frac{1}{Z_{C1}}$$

$$Z_1 = R_1$$

$$Z_2 = R_2$$

$$Z_{C1} = \frac{1}{j\omega C_1}$$

$$Z_{total} = R_1 + \frac{\frac{R_2}{j\omega C_1}}{R_1 + \frac{1}{j\omega C_1}} = R_1 + \frac{R_2}{R_2 j\omega C_1 + 1}$$

Глава 2. Более детальное рассмотрение электрохимического импеданса

2.1. Представления Найквиста и Боде

Данные электрохимического импеданса обычно представляются в двух графических формах. Наиболее распространены два вида графиков. Первый — график Найквиста.

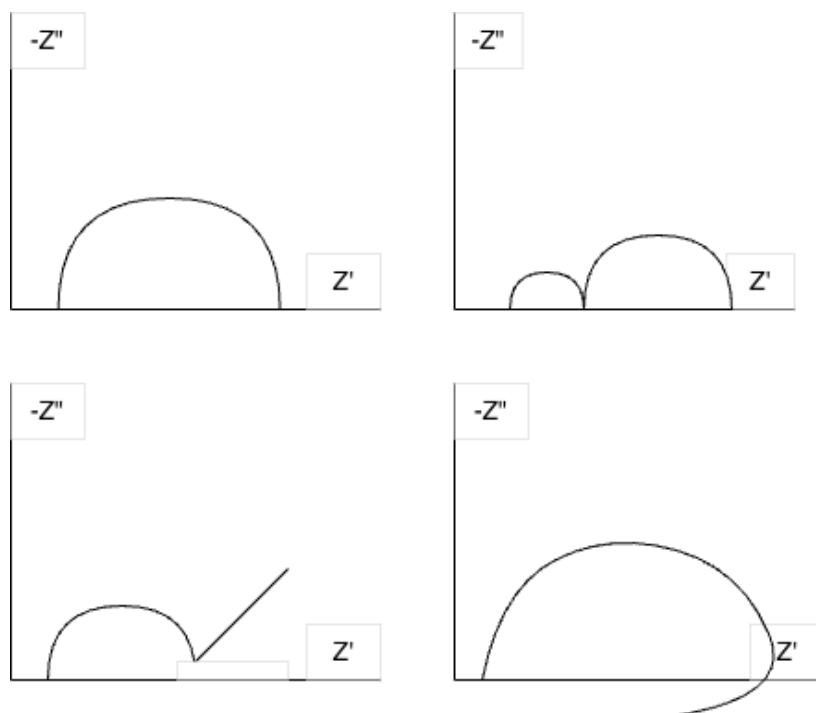


Рисунок 4. Некоторые часто встречающиеся графики Найквиста

Эти графики отображают импеданс на комплексной плоскости: по горизонтальной оси откладывается мнимая составляющая, по вертикальной — вещественная. Как правило, вертикальная ось направлена в отрицательную сторону, поскольку в большинстве случаев мнимая составляющая импеданса отрицательна. График Найквиста обеспечивает первичную диагностику импеданса: он содержит некоторую количественную информацию, однако наиболее полезен для понимания принципиальной формы спектра с первого взгляда. На большинстве графиков Найквиста ожидается полуокружность, а её форма и положение служат диагностическими признаками.

Другой тип графика импеданса — диаграмма Боде. Для каждого импеданса строятся две диаграммы Боде: одна показывает модуль импеданса как функцию частоты, другая — угол сдвига фаз также как функцию частоты. Обе оси могут быть построены в линейном или логарифмическом масштабе. Диаграммы Боде следует рассматривать совместно, поскольку вместе они

предоставляют богатую количественную и качественную информацию о системе.

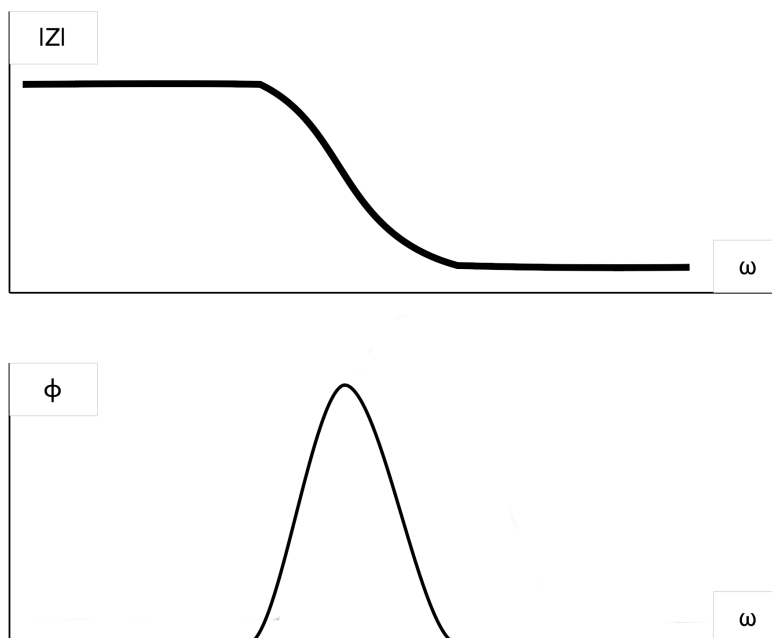


Рисунок 5. Диаграммы Бode ячейки Рэндлса

2.2. Нотация Букампа для эквивалентных схем

Эквивалентные схемы часто записываются с использованием нотации Букампа.

Основные элементы:

- R — резистор
- C — конденсатор
- L — катушка индуктивности
- Q — элемент постоянной фазы (CPE)
- W — диффузионный элемент Варбурга

Последовательно включённые элементы записываются подряд: R1R2C1.

Параллельно включённые элементы заключаются в скобки: (R2Q1). Скобки также ставятся при смене соединения между параллельным и последовательным.

Пример — схема Рэндлса: R1(R2C1)

- R1 — сопротивление раствора
- R2 — сопротивление переноса заряда
- C1 — ёмкость двойного слоя

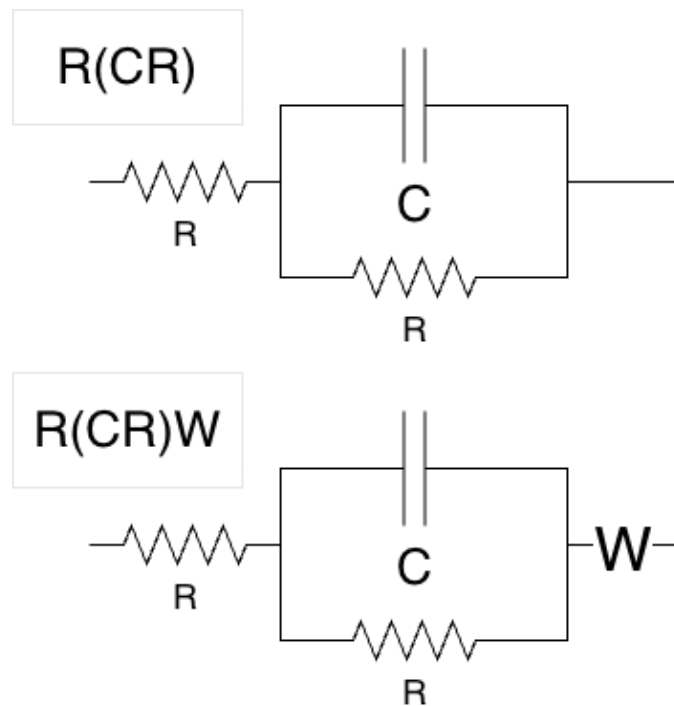


Рисунок 6. Нотация Букампа для некоторых распространённых схем

Схема Рэндлса с диффузией: $R_1(R_2C_1)W_1$

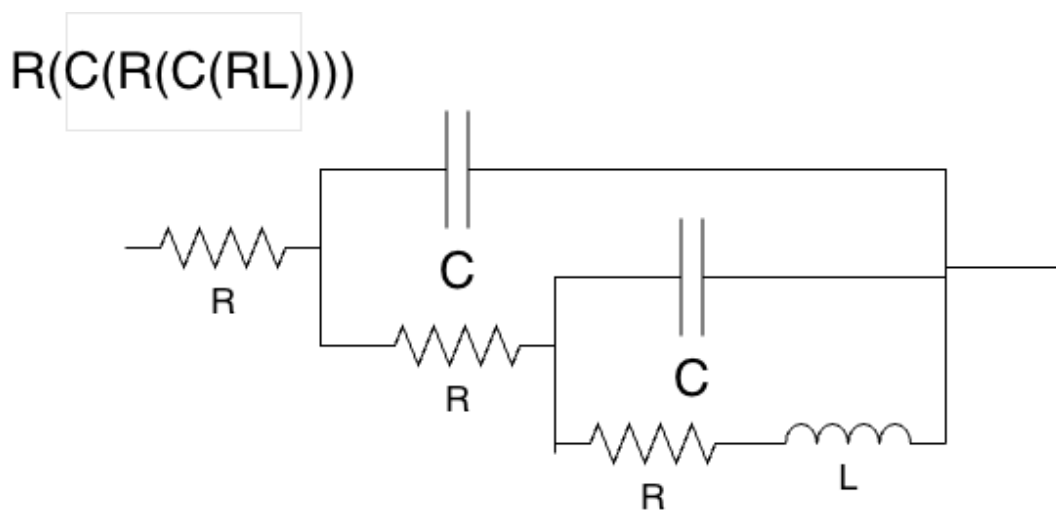


Рисунок 7. Более сложный случай нотации Букампа

Для более сложных схем следует помнить основное правило: запись всегда начинается с резистора, соответствующего сопротивлению раствора. Затем открывается скобка, внутрь которой помещаются параллельные или последовательные соединения элементов схемы. Каждый раз при переходе от параллельного соединения к последовательному или наоборот открывается новая скобка. В конце сложного блока элементов подсчитываются открытые скобки и они закрываются.

2.3. Кинетика процессов и характеристические времена

Электрохимическую импедансную спектроскопию нередко представляют как чисто электрический метод: система возмущается малым синусоидальным потенциалом, и в ответ измеряется возникающий ток. Однако за каждым импедансным спектром стоят физические и химические процессы, протекающие на межфазной границе электрода. Понимание этих процессов требует хотя бы краткого рассмотрения кинетики реакций и характеристических временных масштабов.

Ключевая идея проста. Любой физический процесс требует определённого времени для отклика на изменение условий. Если внешнее возмущение меняется значительно быстрее, чем процесс успевает реагировать, процесс фактически «не откликается». И наоборот: если возмущение медленное по сравнению со своим характеристическим временем, система успевает следовать за ним почти мгновенно. Именно это эксплуатирует импедансная спектроскопия. Варьируя частоту приложенного сигнала, мы зондируем процессы с различными характеристическими временами.

Характеристическое время

Многие физические процессы описываются характеристическим временем релаксации, обычно обозначаемым τ , — типичным временем, за которое система откликается на возмущение. Наглядный пример — простая RC-цепь. Время релаксации:

$$\tau = RC.$$

Из размерного анализа: $[RC] = \text{Ом} \cdot \text{Ф} = \text{В/А} \cdot \text{Кл/В} = \text{с}$. Эта постоянная времени определяет скорость заряда или разряда конденсатора. В частотной области наиболее выраженный отклик наблюдается при:

$$\omega\tau \approx 1,$$

где ω — угловая частота возмущения.

Та же идея применима к электрохимическим системам. Каждый процесс, протекающий на межфазной границе, имеет собственное характеристическое время и поэтому проявляется в определённой области импедансного спектра.

Кинетика переноса заряда

Один из центральных процессов в электрохимии — перенос электронов через границу раздела электрод–электролит. Кинетика этого процесса обычно описывается уравнением Батлера–Волмера:

$$i = i_0 \left(e^{\frac{\alpha F \eta}{RT}} - e^{-\frac{1-\alpha F \eta}{RT}} \right),$$

где i_0 — плотность тока обмена, η — перенапряжение. В импедансной спектроскопии возмущение намеренно поддерживается малым. В этих условиях соотношение Батлера–Фолмера можно линеаризовать, и процесс переноса заряда ведёт себя как сопротивление — сопротивление переноса заряда R_{ct} . Связь между R_{ct} и плотностью тока обмена:

$$R_{ct} = \frac{RT}{nF i_0}$$

Это выражение исключительно важно: оно напрямую связывает измеримую электрическую величину с внутренней кинетической скоростью электрохимической реакции. Таким образом, наблюдая полуокружность на графике Найквиста, соответствующую R_{ct} , мы по существу измеряем скорость электрохимической реакции.

Диффузия и процессы массопереноса

Не все процессы на межфазной границе электрода определяются исключительно кинетикой реакции. Нередко существенную роль играет подача реагирующих частиц к поверхности. Этот транспорт, как правило, осуществляется посредством диффузии. Диффузия имеет совершенно иной характеристический временной масштаб. Если диффузионный слой имеет характеристическую толщину L , время, необходимое частице для пересечения этого слоя, приблизительно равно:

$$\tau \sim L^2 / D,$$

где D — коэффициент диффузии. Поскольку диффузия сравнительно медленна, она, как правило, доминирует в низкочастотной области импедансного спектра. На графиках Найквиста это проявляется в виде хорошо известного «диффузионного хвоста» под углом 45° , обычно описываемого импедансом Варбурга.

Несколько процессов в одном импедансном спектре

Реальные электрохимические системы, как правило, включают несколько одновременно протекающих процессов, каждый из которых вносит свой характеристический временной масштаб. Типичные примеры:

Процесс	Типичный элемент эквивалентной цепи
Зарядка двойного слоя	Конденсатор C_{dl}
Реакция переноса заряда	Сопротивление R_{ct}
Диффузия	Импеданс Варбурга
Пористый электрод	Модель распределенной линии
Абсорбция или промежуточные продукты в порах	Индуктивность

Каждый из этих процессов проявляется в импедансном спектре, когда частота измерения приближается к обратной величине его характеристического времени. Понимание этой иерархии временных масштабов принципиально важно для интерпретации импедансных спектров.

Связь между частотой и временным масштабом процесса

- Высокие частоты зондируют быстрые процессы.
- Средние частоты зондируют кинетику переноса заряда.
- Низкие частоты зондируют медленные транспортные процессы, такие как диффузия.

На графике Найквиста это соответствует привычному расположению особенностей спектра слева направо. В импедансной спектроскопии ось частот фактически становится осью времени: варьируя частоту возмущения, мы избирательно зондируем процессы с различными характеристическими временами отклика.

Процесс	Характеристическое время τ , с	Диапазон частот
Зарядка двойного слоя	$10^{-6} - 10^{-4}$	MHz - kHz
Кинетика переноса заряда	$10^{-3} - 10^{-1}$	kHz - Hz
Массоперенос (диффузия)	$1 - 10^3$	Hz - mHz

Глава 3. Концепция эквивалентной схемы

«Всё следует упрощать настолько, насколько возможно, — но не более того.»

(Альберт Эйнштейн)

При анализе электрохимического импеданса принципиально важно понимать концепцию эквивалентных схем.

Эквивалентная схема — это схема, построенная из пассивных электрических элементов (резисторов, конденсаторов, катушек индуктивности и ряда специальных элементов), соединённых таким образом, что импеданс схемы неотличим от экспериментально измеренного импеданса исследуемой системы.

Строго говоря, нельзя утверждать, что эквивалентная схема является реальной схемой, порождающей наблюдаемый импеданс. Тем не менее, если импеданс эквивалентной схемы хорошо совпадает с измеренным, можно предположить, что схема отражает физические процессы, ответственные за наблюдаемый импеданс.

При этом необходимо учитывать два важных обстоятельства.

Во-первых, эквивалентная схема неоднозначна. Для любого экспериментально измеренного импедансного спектра можно построить более одной эквивалентной схемы, воспроизводящей тот же импедансный отклик с той же точностью.

Во-вторых, достоверность эквивалентной схемы должна оцениваться не только по качеству математической аппроксимации, но и по её физической обоснованности. Предложенная схема должна соответствовать реалистичной модели электрохимической системы и протекающих в ней процессов.

Качество соответствия между эквивалентной схемой и экспериментальными данными обычно оценивается с помощью статистического критерия. Широко используемый параметр — критерий хи-квадрат (χ^2), представляет собой меру отклонения экспериментальных точек от аппроксимирующей многомерной модели. Чем меньше значение χ^2 , тем лучше соответствие модели экспериментальным данным.

Вместе с тем хорошая статистическая аппроксимация отнюдь не гарантирует правильной физической интерпретации. Во многих случаях различные эквивалентные схемы могут давать аппроксимации сопоставимого статистического качества.

Одна из причин — проблема идентифицируемости параметров. В сложных эквивалентных схемах несколько параметров могут влиять на импедансный спектр схожим образом. В результате процедура аппроксимации может не позволить однозначно определить значения отдельных параметров, и тогда различные комбинации параметров дают практически одинаковые импедансные спектры.

Другая распространённая трудность — переобучение. Когда эквивалентная схема содержит слишком много подгоночных параметров, она может воспроизводить экспериментальные данные с очень высокой точностью, утрачивая при этом физический смысл. Дополнительные элементы просто поглощают малые экспериментальные отклонения или шум, не представляя реальных процессов в электрохимической системе.

Перед аппроксимацией эквивалентной схемой важно также проверить, что сам измеренный импедансный спектр является физически согласованным. Методы проверки внутренней согласованности импедансных данных, такие как соотношения Крамерса–Кронига, будут подробно рассмотрены в следующих главах.

Таким образом, выбор эквивалентной схемы всегда должен определяться не только статистическими критериями, но и электрохимическими соображениями и знанием исследуемой системы.

Глава 4. Специальные элементы схем

4.1. Элемент Варбурга (W)

Импеданс Варбурга используется в электрохимии (в частности, в электрохимической импедансной спектроскопии) для описания диффузионно-контролируемых процессов, при которых скорость реакции ограничена диффузией реагирующих частиц к поверхности электрода.

$$Z_W = \frac{\sigma}{\sqrt{j\omega}},$$

где Z_W — импеданс Варбурга, σ — коэффициент Варбурга. Сам коэффициент Варбурга σ может быть выражен через физические параметры электрохимической системы:

$$\sigma = \frac{RT}{n^2 F^2 A \sqrt{2}} \left(\frac{1}{C_O \sqrt{D_O}} + \frac{1}{C_R \sqrt{D_R}} \right),$$

где R — газовая постоянная, T — температура (K), n — число переданных электронов, F — постоянная Фарадея, A — площадь электрода, C_O — концентрация окисленной формы, C_R — концентрация восстановленной формы, D_O и D_R — соответствующие коэффициенты диффузии.

Коэффициент Варбурга описывает степень диффузионного ограничения переноса заряда в системе. Большему коэффициенту диффузии D соответствует меньшее σ ; аналогично — большей концентрации C или большей площади электрода A . Таким образом, σ по существу характеризует диффузионное сопротивление электрохимической системы.

Поскольку для импеданса Варбурга $\text{Re}(Z) = \text{Im}(Z)$, на графике Найквиста элемент Варбурга проявляется в виде прямой линии с наклоном 45° .

Импеданс Варбурга входит в состав таких моделей, как: ячейка Рэндлса, анализ диффузии ионов в батареях, топливные элементы, исследования коррозии. Он описывает диффузионно-контролируемые процессы. Характерный признак на графике Найквиста — линия под углом 45° .

4.2. Элемент постоянной фазы, CPE (Q)

Импеданс Варбурга является частным случаем элемента постоянной фазы (CPE) при $n = 0,5$, однако это справедливо лишь для идеального (полубесконечного) элемента Варбурга.

Элемент постоянной фазы (CPE) нередко рассматривается как неидеальный конденсатор, импеданс которого задаётся выражением:

$$Z_{CPE} = \frac{1}{Q(j\omega)^n},$$

где Q — коэффициент CPE, n — показатель степени ($0 \leq n \leq 1$), ω — угловая частота, j — мнимая единица.

Если $n = 0,5$, то

$$Z_{CPE} = \frac{1}{Q(j\omega)^{0,5}}$$

Это дает ту же зависимость от частоты

$$Z \propto \frac{1}{\sqrt{j\omega}} \quad \text{что импеданс Варбурга } Z_W = \frac{\sigma}{\sqrt{j\omega}}.$$

Отсюда, $\sigma = \frac{1}{Q}$ (с точностью до константы, зависимой от выбранных единиц и соглашений).

Геометрическая интерпретация

Угол сдвига фаз для CPE равен $\varphi = -90^\circ \cdot n$. При $n = 1$ — идеальный конденсатор ($\varphi = -90^\circ$), при $n = 0$ — резистор ($\varphi = 0^\circ$), при $n = 0,5$ — соответствует линии 45° на графике Найквиста, что в точности совпадает с характеристикой импеданса Варбурга.

Важное различие между элементом Варбурга и CPE состоит в том, что их физический смысл различен. Элемент Варбурга возникает из уравнения диффузии Фика и имеет физический параметр σ . CPE — эмпирический элемент, используемый для моделирования таких эффектов, как шероховатость поверхности, распределение времён релаксации и неоднородность системы.

Полубесконечный Варбург (идеальная диффузия)

При полубесконечной диффузии предполагается, что диффузионный слой простирается бесконечно.

$$Z_W = \frac{\sigma}{\sqrt{j\omega}}$$

Свойства: $|Z| \propto \omega^{-1/2}$, угол сдвига фаз = -45° , на графике Найквиста — прямая под углом 45° . Данное приближение справедливо, когда диффузионный фронт за время измерения не достигает физической границы. Типичный пример: диффузия в большой объём электролита.

Конечный Варбург (ограниченная диффузия)

В реальных системах диффузия, как правило, протекает в конечной области (например, в пленке, частице, поре или в объёме электрода). Тогда импеданс принимает вид конечного Варбурга (общая форма):

$$Z_W = \frac{\sigma}{\sqrt{j\omega}} \tanh\left(\delta \sqrt{\frac{j\omega}{D}}\right),$$

где δ — толщина диффузного слоя (характеристическая длина пути диффузии), D — коэффициент диффузии, σ — коэффициент Варбурга.

Поведение при различных частотах

Высокие частоты

диффузионный слой ещё тонок: $\tanh(x) \approx x$, и $Z \approx \sigma/\sqrt{j\omega}$ — поведение как у полубесконечного Варбурга, линия 45° на Найквисте.

Низкие частоты

При низких частотах диффузионный фронт достигает границы: $\tanh(x) \approx 1$, и $Z \approx \sigma\delta/D$ — импеданс становится чисто активным. На графике Найквиста линия 45° изгибается и переходит в горизонталь.

Два практических варианта в моделях EIS:

Конечный Варбург — проницаемая граница (W):

$$Z = R_W \frac{\tanh(\sqrt{j\omega\tau})}{\sqrt{j\omega\tau}}$$

Конечный Варбург — отражающая граница (Wo):

$$Z = R_W \frac{\coth(\sqrt{j\omega\tau})}{\sqrt{j\omega\tau}},$$

где R_w — диффузионное сопротивление, τ — диффузионная постоянная времени.

4.3. Импеданс Геришера

Импеданс Геришера возникает, когда диффузия электроактивных частиц сопряжена с гомогенной химической реакцией в растворе. Типичная ситуация — когда электрохимическая реакция сопровождается химическим превращением в электролите. Например, восстановленные на электроде частицы могут химически реагировать в растворе, прежде чем диффундировать обратно к поверхности электрода. Поскольку концентрационный профиль реагирующих частиц одновременно определяется диффузией и химической кинетикой, результирующий импеданс отклоняется от классического характера Варбурга.

На графике Найквиста элемент Геришера обычно проявляется в виде подавленной дуги, постепенно переходящей в диффузионный хвост, — в отличие от прямой под углом 45° , характерной для полубесконечной диффузии.

Импеданс Геришера встречается в: реакциях медиаторного электрокатализа, каталитических системах, полупроводниковой электрохимии, редокс-системах с последующими химическими реакциями.

$$Z_G = \frac{R_G}{\sqrt{1 + j\omega\tau}},$$

где R_G — характеристическое сопротивление процесса, τ — характеристическая постоянная времени.

4.4. Индуктивная петля

Ещё одна особенность, иногда наблюдаемая в импедансных спектрах, — индуктивная петля, которая проявляется при низких частотах как область, где мнимая составляющая импеданса становится положительной. Такое поведение соответствует наличию эффективного индуктивного элемента в эквивалентной схеме.

Индуктивные петли наиболее часто связаны с явлениями адсорбции и релаксации поверхностных интермедиатов. Во многих электрохимических реакциях, особенно связанных с растворением металлов или коррозией, промежуточные частицы адсорбируются на поверхности электрода. Нестационарное образование и удаление этих интермедиатов может вызывать запаздывание тока по отношению к изменениям потенциала, что и проявляется как индуктивное поведение в спектре.

Типичные ситуации, в которых наблюдаются индуктивные петли: активное растворение металлов, процессы коррозии, адсорбция реакционных интермедиатов, системы, содержащие ингибиторы коррозии.

$$Z_L = j\omega L$$

Хотя индуктивные петли хорошо задокументированы в экспериментальных спектрах, их физическая интерпретация порой остаётся дискуссионной, и не все исследователи принимают их как простые индуктивные элементы схемы.

4.5. Модель распределенной линии

Во многих электрохимических системах процессы, ответственные за импеданс, пространственно распределены, а не локализованы на единственной межфазной границе. В таких случаях простые схемы с сосредоточенными элементами могут не давать адекватного описания системы.

Примеры подобных систем: пористые электроды, пассивные оксидные плёнки, коррозионные слои, электроды батарей, электрохимические покрытия.

Для описания таких систем широко применяются модели распределенной линии. Эти модели представляют структуру электрода в виде большого числа малых элементов, соединённых в «цепочку» из резистивных и ёмкостных компонентов.

Физически это отражает тот факт, что ионный транспорт и электрохимические реакции одновременно происходят во многих точках внутри пористой или слоистой структуры.

Хотя полный математический анализ моделей распределенной линии может быть сложным, для простейшей полубесконечной распределенной линии импеданс в общем случае имеет вид:

$$Z(\omega) = \sqrt{\frac{R}{j\omega C}}$$

где R — распределённое сопротивление, связанное с ионным транспортом, C — распределённая межфазная ёмкость.

4.6. Импедансы основных элементов эквивалентных схем

Сопротивление	$Z = R$	Сопротивление электрическому току
Конденсатор	$Z = 1/(j\omega C)$	Двойной слой на границе с идеальной поверхностью электрода
Катушка индуктивности	$Z = j\omega L$	Релаксация, сорбция
Элемент постоянной фазы (CPE)	$Z = 1/(Q(j\omega)^n)$	Неидеальный конденсатор / неровная поверхность электрода

Импеданс Варбурга	$Z = \sigma/\sqrt{j\omega}$	Полубесконечная диффузия
Конечный Варбург	$Z = (\sigma/\sqrt{j\omega}) \cdot \tanh(\sqrt{j\omega\tau})$	Диффузия в конечном слое
Элемент Геришера	$Z = RG/\sqrt{1 + j\omega\tau}$	Диффузия сопряженная с химической реакцией
Распределенная линия	$Z \approx \sqrt{R/(j\omega C)}$	Распределенный массоперенос в порах

Глава 5. Типичные эквивалентные схемы

5.1. Ячейка Рэндлса, R(CR)

Простейший случай электрохимического импеданса соответствует ситуации,

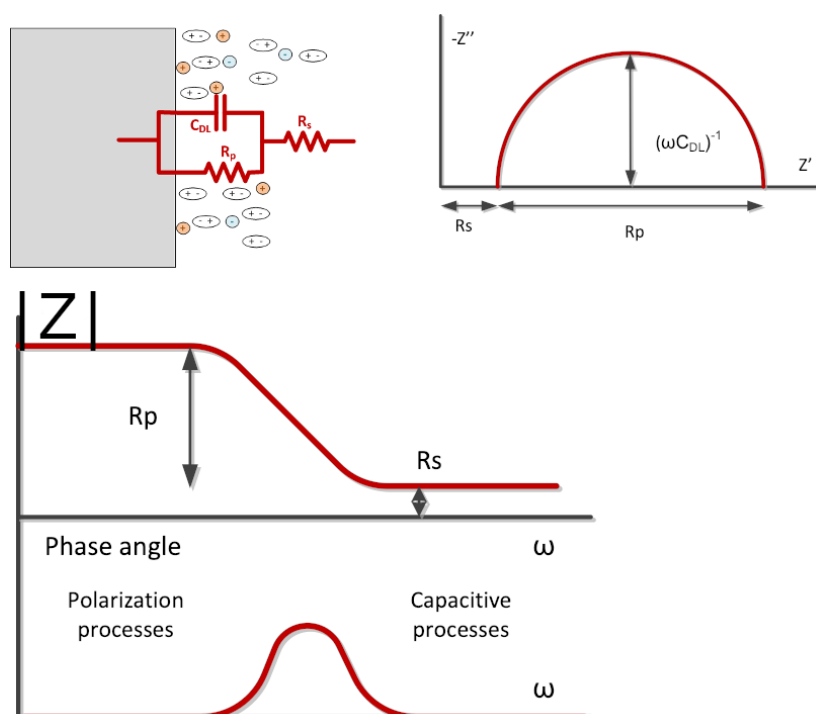


Рисунок 8. Ячейка Рэндлса и соответствующие диаграммы

когда металлический электрод погружён в жидкий электролит и на границе раздела электрода и электролита протекает реакция переноса заряда (окисление или восстановление). На этой границе раздела происходят два важных явления. Во-первых, формируется двойной электрический слой. Во-вторых, движение ионов через электролит обеспечивает путь для электрической проводимости в растворе.

Эта ситуация приводит к простейшей эквивалентной схеме, состоящей из двух сопротивлений и одной ёмкости. В этой схеме первое сопротивление включено

последовательно с параллельным соединением ёмкости и второго сопротивления: $R(CR)$. Первое сопротивление R_1 представляет омическое сопротивление электролита. Второе сопротивление R_2 — сопротивление переноса заряда. Ёмкость соответствует ёмкости двойного слоя, возникающей из-за структуры на поверхности электрода и прилегающего электролита.

На графике Найквиста схема Рэндлса даёт идеальную полуокружность, смещённую вдоль горизонтальной оси на величину сопротивления электролита. Диаметр полуокружности равен сопротивлению переноса заряда. Кроме того, если измерить вертикальный радиус полуокружности в её высшей точке, получается соотношение $1/(\omega C)$, позволяющее определить ёмкость двойного слоя.

На диаграммах Бode проявляются две характерные особенности. На графике модуля импеданса чётко видны два горизонтальных плато: одно в высокочастотной области, другое — в низкочастотной. Между ними расположен диагональный переходный участок. Нижнее плато (высокочастотный предел) соответствует сопротивлению электролита. Верхнее плато (низкочастотный предел) — сумме сопротивления электролита и сопротивления переноса заряда. На фазовой диаграмме Бode угол сдвига фаз достигает максимума приблизительно в середине переходного участка. В идеальном случае максимальный угол сдвига фаз равен 90° ; в реальных системах он несколько меньше, но обычно близок к этому значению.

Все перечисленные особенности составляют характерную «подпись» ячейки Рэндлса. Следует отметить, что практически любая другая эквивалентная схема рассматривается как искажение или усложнение ячейки Рэндлса, поэтому анализ всегда начинается с гипотезы о ячейке Рэндлса с последующим добавлением элементов при необходимости.

5.2. Диффузионно-контролируемые процессы, $R(C(RW))$

Другой типичный случай в импедансной спектроскопии возникает, когда на электроде образуется поверхностный слой — например, покрытие или слой продуктов коррозии. Через этот слой диффузия реагирующих частиц ещё возможна, но затруднена, вследствие чего диффузия может стать лимитирующей стадией процесса.

Аналогичная ситуация может возникнуть, когда сама электрохимическая реакция протекает исключительно быстро. В этом случае даже обычная диффузия через электролит может оказаться недостаточной для своевременного подвода реагентов, и диффузия снова становится лимитирующей стадией.

Если процесс в основном подчиняется механизму Рэндлса, но дополнительно ограничен диффузией, в эквивалентную схему необходимо включить диффузионный элемент. В большинстве случаев этот элемент включается последовательно с сопротивлением переноса заряда: $R(C(RW))$.

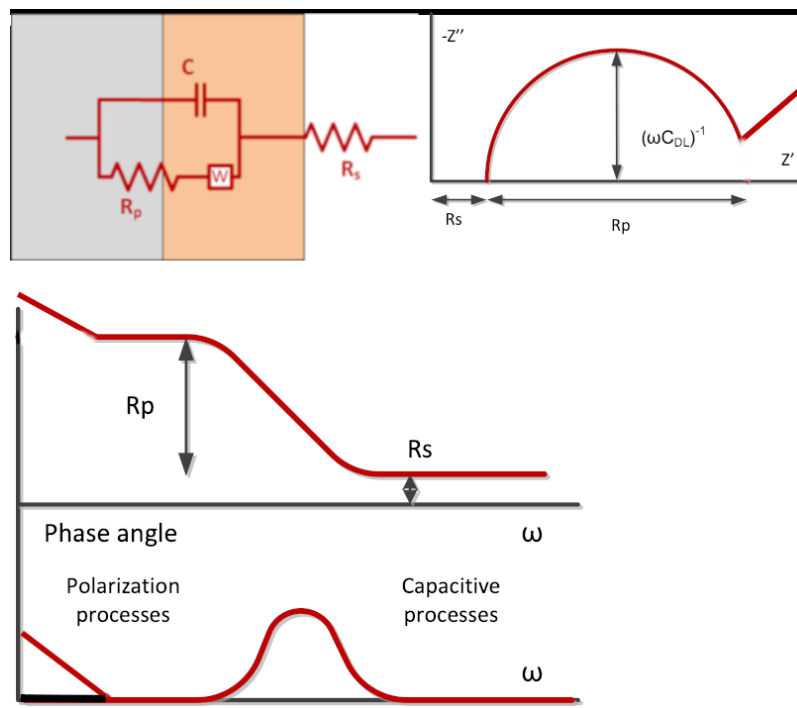


Рисунок 9. Диффузионно-контролируемый процесс

На графике Найквиста такой процесс проявляется в виде характерной особенности, неофициально называемой «хвостом Найквиста»: в низкочастотной области (правая часть диаграммы в стандартном представлении) кривая продолжается прямой линией, наклонённой под углом приблизительно 45° к горизонтальной оси.

На диаграммах Бode низкочастотная часть кривой модуля импеданса уже не горизонтальна, а постепенно повышается в сторону малых частот. На фазовой диаграмме в низкочастотной области фаза снова может возрастать, иногда приближаясь к 45° . Наиболее важный диагностический признак — максимальный угол сдвига фаз уже не близок к 90° , как для чистой схемы Рэндлса; как правило, он лежит между 40° и 45° . Это служит весьма весомым диагностическим признаком наличия элемента Варбурга и диффузионного контроля.

Практическое диагностическое правило

Если угол сдвига фаз стремится к 45° , а на графике Найквиста виден прямолинейный хвост под таким же углом, весьма вероятно участие диффузии в электрохимическом процессе. Хотя реальные системы редко демонстрируют идеальное поведение Варбурга, углы фаз в диапазоне $40\text{--}45^\circ$ обычно указывают на то, что импедансный отклик хотя бы частично контролируется диффузией.

5.3. Процесс с двумя постоянными времени, $R(C(R(CR)))$

Процесс, протекающий в двух областях системы. Такой процесс может

Эквивалентная цепь	Полный импеданс
R(CR)	$Z = R_s + \frac{R_{ct}}{1 + j\omega C}$
R(QR)	$Z = R_s + \frac{R_{ct}}{1 + R_{ct}Q(j\omega)^n}$
R(C(RW))	$Z = R_s + \frac{R_{ct} + Z_W}{1 + j\omega C(R_{ct} + Z_W)}$
R(Q(RW))	$Z = R_s + \frac{R_{ct} + Z_W}{1 + Q(j\omega)^n(R_{ct} + Z_W)}$
R(C(R(CR)))	$Z = R_s + \frac{R_{ct} + \frac{R_2}{1 + j\omega C_2 R_2}}{1 + j\omega C_1(R_{ct} + \frac{R_2}{1 + j\omega C_2 R_2})}$
R(C(RL))	$Z = R_s + \frac{R_{ct} + j\omega L}{1 + j\omega C(R_{ct} + j\omega L)}$

наблюдаться, например, если поверхность металлического электрода содержит достаточно глубокие поры (вследствие питтинговой коррозии или иных неоднородностей поверхности). Иными словами, можно представить ситуацию, когда часть реакции протекает на внешней поверхности металла, а другая — внутри пор.

С точки зрения эквивалентной схемы это соответствует более сложной схеме. Здесь имеется одна CR-ячейка, представляющая процессы на внешней поверхности электрода, и ещё одна — для процессов внутри пор. Внутренняя ячейка включена последовательно с сопротивлением внешней ячейки. В нотации Букампа это R(C(R(CR))).

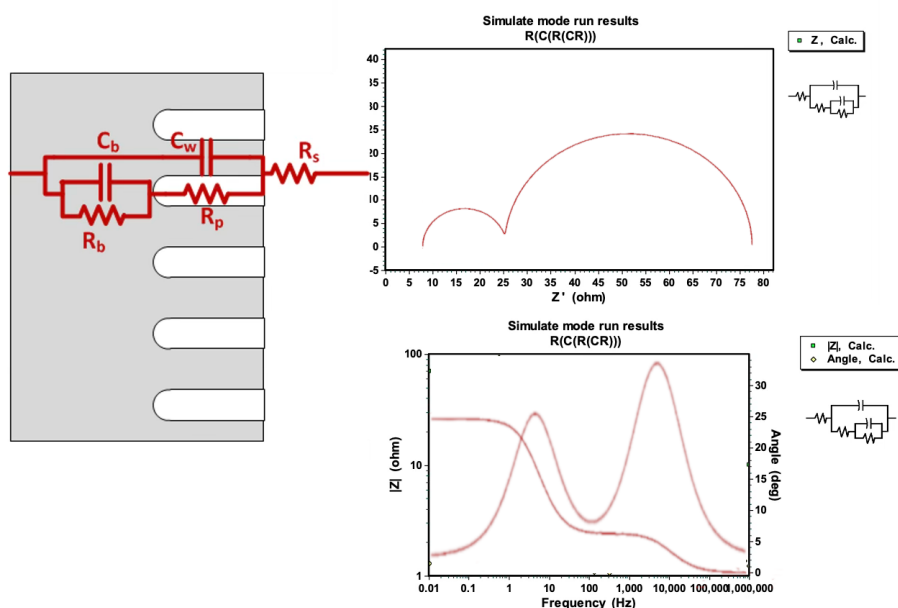


Рисунок 10. Процесс с двумя хорошо разрешёнными постоянными времени

Такая схема также имеет очень характерный профиль на графике Найквиста — два полукруга. Каждый полукруг соответствует своему процессу. Полукруг, расположенный ближе к вертикальной оси, представляет внешнюю систему (поверхность электрода), а дальний — внутреннюю (процессы внутри пор).

На диаграммах Боде наблюдается характерный паттерн: вместо обычных двух плато с одним переходом — три плато и два перехода на графике модуля; два пика на фазовой диаграмме. Первый пик нередко достигает около 60° или выше, второй значительно меньше — порядка $20\text{--}25^\circ$.

Важный нюанс: вид спектра на графике Найквиста существенно зависит от соотношения постоянных времени двух процессов. Если постоянные времени различаются более чем на два порядка — наблюдаются два отчётливых полукруга. Если они близки — виден один уплощённый («приплюснутый») полукруг.

5.4. Искажённые случаи

Под искажёнными случаями понимаются импедансные спектры, форма которых не может быть однозначно сопоставлена с конкретным физическим явлением или с единственной эквивалентной схемой.

К таким случаям относятся: процессы с двумя постоянными времени, системы с индуктивными петлями, процессы, описываемые импедансом Геришера, и более сложные ситуации — особенно когда вместо идеальных конденсаторов используются элементы постоянной фазы (CPE).

Главная трудность в таких системах состоит в том, что наблюдаемый спектр является результатом совместного действия двух и более различных процессов. Вследствие этого итоговая форма импедансного спектра значительно сильнее зависит от соотношения констант скоростей процессов, нежели от точного механизма реакции.

Например, рассмотренная ранее система с двумя постоянными времени (пористый электрод, реакция внутри пор) на практике может давать как минимум три различных типа спектров: два отдельных полукруга Рэндлса; индуктивную петлю; один уплощённый полукруг. Наблюдаемый вариант определяется прежде всего соотношением характеристических постоянных времени двух процессов.

По этой причине, как правило, невозможно определить по одной лишь форме спектра, демонстрирует ли система импеданс Геришера, один из частных случаев системы с двумя постоянными времени, подлинную индуктивную петлю или кинетически эквивалентную ситуацию.

Когда наблюдаются подобные нетривиальные импедансные спектры, диагностика, основанная исключительно на визуальном анализе кривой, становится неоднозначной и требует осторожности. В таких случаях настоятельно рекомендуется использовать дополнительные диагностические методы.

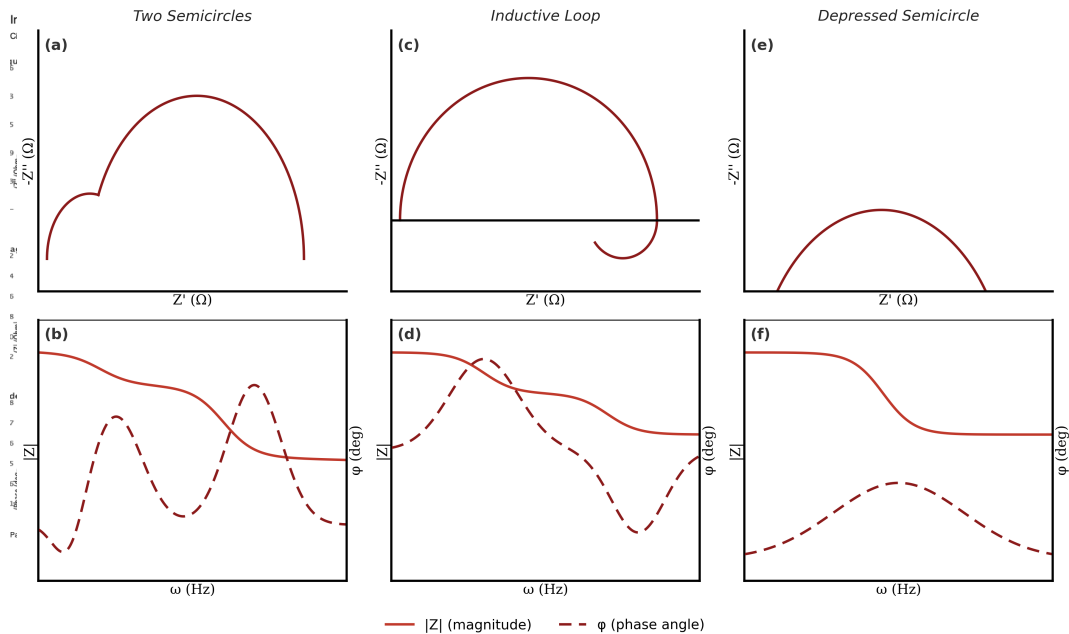


Рисунок 11. Моделирование двух схем $(C(R_1R_2C))$. Слева, $R_1=180 \Omega$, $C_1=800 \mu F$, $R_2=60 \Omega$, $C_2=6 \mu F$. Справа, $R_1=80 \Omega$, $C_1=800 \mu F$, $R_2=60 \Omega$, $C_2=600 \mu F$.

Глава 6. Расчёт импеданса системы

В разделе 1.3 был представлен полный вывод выражения для импеданса ячейки Рэндлса $R(CR)$. Во избежание перегрузки текста громоздкими алгебраическими выражениями, ниже приводятся только конечные результаты для различных эквивалентных схем.

Итоговые выражения для суммарного импеданса могут выглядеть достаточно громоздко, однако они легко вычисляются в любой удобной для исследователя вычислительной среде — Python, MATLAB или иной.

Во многих случаях экспресс-анализ импедансных спектров не требует расчёта полного частотного отклика в широком диапазоне. Достаточно рассмотреть два предельных случая: высокочастотный (ВЧ) и низкочастотный (НЧ) пределы.

В низкочастотном пределе конденсаторы не проводят ток, и все ветви схемы, содержащие конденсаторы, становятся фактически разомкнутыми. Катушки индуктивности, напротив, ведут себя как проводники с пренебрежимо малым сопротивлением. Благодаря этому даже сложная схема значительно упрощается.

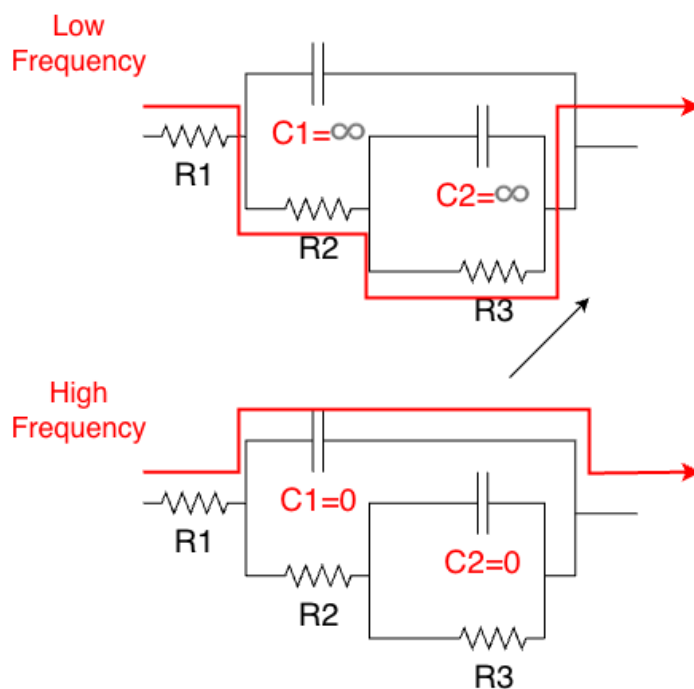


Рисунок 13. Пути тока на низкой и высокой частотах

В высокочастотном пределе ситуация обратная: конденсаторы ведут себя как элементы с пренебрежимо малым импедансом, тогда как катушки индуктивности имеют очень высокий импеданс.

Глава 7. Практические условия измерений

Электрохимическую импедансную спектроскопию нередко воспринимают как чисто инструментальный метод: к системе прикладывается малое синусоидальное возмущение, и измеряется возникающий в ответ ток. На практике, однако, далеко не каждый измеренный отклик может быть интерпретирован как достоверный импедансный спектр. Для того чтобы импедансная спектроскопия давала значимую информацию о системе, должен быть выполнен ряд фундаментальных условий.

Эти условия тесно связаны с математическими допущениями, лежащими в основе импедансного анализа и соотношений Крамерса–Кронига.

7.1. Линейность

Импедансная спектроскопия предполагает, что система линейно реагирует на приложенное возмущение. Иными словами, токовый отклик должен быть пропорционален приложенному возмущению потенциала.

На практике это условие выполняется при использовании достаточно малой амплитуды возбуждающего переменного сигнала. Типичные амплитуды в электрохимических измерениях составляют около 5–10 мВ.

Простой экспериментальный тест на линейность — повторить измерение при различных амплитудах возмущения. Если результирующий импедансный спектр не меняется при уменьшении амплитуды, систему можно считать линейной в данном диапазоне измерений.

7.2. Стабильность системы

В ходе импедансного измерения электрохимическая система должна оставаться стабильной на протяжении всего эксперимента.

Поскольку импедансные спектры, как правило, получают путём последовательного сканирования широкого диапазона частот, измерение может занимать несколько минут и более. Если свойства системы за это время меняются — например, вследствие коррозии, адсорбционных процессов или изменений в составе поверхности — измеренный спектр будет отражать смесь различных состояний системы, а не истинный стационарный отклик.

7.3. Причинность

Физически осмысленный импедансный спектр должен удовлетворять принципу причинности: отклик системы не может предшествовать приложенному возмущению.

Хотя причинность не поддаётся прямой проверке в ходе измерения, она неявно проверяется через математическую согласованность импедансного спектра. Спектры, нарушающие причинность, не могут удовлетворять соотношениям Крамерса–Кронига и поэтому не проходят формальную валидацию.

7.4. Конечность отклика

Ещё одно неявное требование: система должна давать конечный отклик как при очень высоких, так и при очень низких частотах. Иными словами, функция импеданса должна оставаться ограниченной при стремлении частоты к нулю или к бесконечности.

7.5. Внутренняя согласованность данных

Наконец, набор импедансных данных должен быть внутренне согласованным. Это означает, что вещественная и мнимая части импеданса должны подчиняться математическим соотношениям, требуемым для линейной, причинной и стационарной системы.

В современном импедансном анализе эта согласованность, как правило, проверяется с помощью процедур валидации по соотношениям Крамерса–Кронига.

7.6. Практический контрольный список

Перед интерпретацией импедансного спектра рекомендуется убедиться в выполнении следующих условий:

- Амплитуда возбуждения достаточно мала и не влияет на спектр.
- Система остаётся стабильной в ходе измерения.
- Записанный спектр не содержит очевидных артефактов или разрывов.
- Диапазон частот достаточно широк, чтобы охватить все значимые процессы.
- Данные проходят валидацию по критерию Крамерса–Кронига.

Если бы мне пришлось с нуля поставить эксперимент EIS на системе с жидким электролитом при комнатной температуре, я рекомендовал бы начать со следующих параметров:

- Диапазон частот: от 100 кГц до 10 мГц
- Амплитуда переменного возмущения: 5–10 мВ
- Плотность точек по частоте: около 6–10 точек на декаду

Электрохимическая система должна оставаться стабильной на протяжении всего измерения. Практически это означает, что перед началом измерения система должна выйти на достаточно стабильный потенциал разомкнутой цепи (флуктуации не более ~5 мВ за 10–15 минут), а визуальные признаки реакции (выделение газа, осадок, помутнение, изменение цвета) должны отсутствовать.

7.7. Типичные ошибки при измерениях электрохимического импеданса

Слишком большая амплитуда возмущения: спектр меняется при уменьшении амплитуды; деформированные полуокружности → нелинейный отклик системы. Дрейф системы в ходе измерения: разброс или систематическое смещение низкочастотных точек → изменение поверхности, коррозия, адсорбция.

Недостаточный диапазон частот: отсутствие полуокружности или неполный диффузионный хвост → частотный диапазон слишком узок.

Слишком мало точек на декаду: неровные или плохо определённые кривые → недостаточная частотная разрешающая способность.

Индуктивные артефакты на высоких частотах: малая индуктивная петля вблизи начала координат → индуктивность проводников, инструментальные артефакты.

Плохие электрические контакты: случайный разброс данных → нестабильные соединения.

Нестабильность электрода сравнения: низкочастотный шум или дрейф → флуктуации потенциала электрода сравнения.

Неучтённое массопереносное ограничение: неожиданный диффузионный хвост → концентрационные градиенты в электролите.

Нескомпенсированное сопротивление раствора: сдвиг всего спектра вдоль вещественной оси → омическое падение напряжения в электролите.

Инструментальный шум при малых токах: нерегулярные точки на низких частотах → ограничения соотношения сигнал/шум.

Глава 8. Валидация импедансных данных: соотношения Крамерса–Кронига

Электрохимическая импедансная спектроскопия основана на предположении, что измеренный отклик представляет собой физически осмысленную передаточную функцию системы. На практике, однако, экспериментальные данные могут содержать артефакты, обусловленные аппаратными ограничениями, нестационарным поведением системы или нарушением приближения малого сигнала.

По этой причине импедансные данные нередко подвергают математическим процедурам валидации. Наиболее широко используемый метод основан на соотношениях Крамерса–Кронига, обеспечивающих строгую проверку согласованности импедансных спектров.

8.1. Физический смысл соотношений Крамерса–Кронига

Соотношения Крамерса–Кронига вытекают из фундаментальных свойств линейных систем. Чтобы импедансный спектр представлял физически допустимую функцию отклика, система должна удовлетворять ряду условий: линейность, причинность, инвариантность во времени (стабильность), конечность отклика.

При выполнении этих условий вещественная и мнимая части импеданса не являются независимыми. Вместо этого они математически связаны интегральными соотношениями. Иными словами, если одна составляющая импеданса известна во всём диапазоне частот, другая составляющая может быть рассчитана из неё.

8.2. Математическая форма

Для допустимой импедансной функции $Z(\omega)$ вещественная и мнимая части должны удовлетворять соотношениям Крамерса–Кронига:

$$Z'(\omega) = Z'(\infty) + \frac{2}{\pi} \int_0^{\infty} \frac{\omega' Z''(\omega')}{\omega'^2 - \omega^2} d\omega'$$

$$Z''(\omega) = -\frac{2\omega}{\pi} \int_0^{\infty} \frac{Z'(\omega') - Z'(\infty)}{\omega'^2 - \omega^2} d\omega'$$

Эти выражения показывают, что вещественная и мнимая составляющие импеданса должны быть взаимно согласованы, чтобы спектр соответствовал физически реализуемой системе.

8.3. Практическая интерпретация

На практике соотношения Крамерса–Кронига не используются для непосредственного расчёта импеданса. Вместо этого они применяются как критерий согласованности. Идея проста: на основе измеренных данных импедансный спектр восстанавливается с помощью соотношений Крамерса–

Кронига, после чего восстановленный спектр сравнивается с исходными измерениями. Если отклонение мало — данные считаются внутренне согласованными и физически допустимыми. Большие отклонения свидетельствуют о нарушении одного или нескольких базовых допущений.

8.4. Типичные причины нарушений соотношений Крамерса–Кронига

- избыточная амплитуда возмущения, приводящая к нелинейному отклику;
- дрейф электрохимической системы в ходе измерения;
- недостаточный диапазон частот;
- шум измерений или инструментальные артефакты;
- нестабильность электрода сравнения;
- плохие электрические контакты.

8.5. Роль валидации по критерию Крамерса–Кронига в импедансном анализе

Валидация по Крамерсу–Кронигу не даёт непосредственной физической интерпретации импедансных данных. Вместо этого она отвечает на более фундаментальный вопрос: может ли измеренный спектр вообще представлять физически осмысленную импедансную функцию?

Лишь после того, как данные прошли эту проверку согласованности, становится осмысленным интерпретировать спектр в терминах эквивалентных схем или физических механизмов. Именно поэтому валидация по Крамерсу–Кронигу стала стандартным этапом современного импедансного анализа.

8.6. Практическое замечание

В большинстве современных программ для импедансного анализа тест Крамерса–Кронига может быть выполнен автоматически. Однако следует помнить, что данная процедура оценивает лишь внутреннюю согласованность набора данных. Она не гарантирует, что выбранная эквивалентная схема отражает правильный физический механизм.

Глава 9. Практический рабочий процесс

Электрохимическую импедансную спектроскопию нередко представляют как чисто инструментальную технику. На практике, однако, получение значимого импедансного спектра требует последовательного выполнения ряда тщательно выверенных экспериментальных и аналитических шагов.

9.1. Стабилизация электрохимической системы

Перед проведением любого электрохимического измерения система должна выйти на стационарное состояние. Практически это означает поддержание стабильного потенциала разомкнутой цепи (ОСР).

Единого общепринятого критерия стабильности ОСР не существует. В собственной практике автора применяется простое правило: если флуктуации ОСР не превышают приблизительно 5 мВ за 10–15 минут, систему можно считать достаточно стабильной.

Время, необходимое для достижения этого состояния, существенно зависит от конкретной исследуемой системы. Автор сталкивался с системами, стабилизировавшимися за 10 минут, и с такими, которые оставались нестабильными даже после двух недель.

9.2. Выбор диапазона частот

Выбор диапазона частот определяется прежде всего характеристическими постоянными времени интересующих процессов. Для типичных электрохимических систем в водных электролитах при температуре, близкой к комнатной, практической отправной точкой служит:

- верхняя граница частот: не более ~ 100 кГц;
- нижняя граница частот: как можно ниже; в идеале — до ~ 1 мГц или даже 100 мкГц.

На практике низкочастотная область представляет значительные экспериментальные трудности. При 0,1 Гц период одного цикла составляет 10 секунд; при 10 мГц — 100 секунд. В течение этого времени система должна оставаться практически невозмущённой. Любые механические вибрации, электрические помехи или изменения окружающей среды способны исказить измерение.

9.3. Приложение малого переменного возмущения

Ключевое слово здесь — малое. Типичные амплитуды возбуждения при импедансных измерениях составляют 1–10 мВ. Для неизвестной системы полезна следующая процедура: последовательные измерения с постепенно уменьшающейся амплитудой — 10, 7, 5, 3, 1 мВ. Сравнение спектров позволяет убедиться в линейности поведения системы в выбранном диапазоне. Иногда требуются неожиданно большие возмущения — до 20 или даже 50 мВ.

9.4. Запись импедансного спектра

На данном этапе импедансный спектр записывается с использованием процедуры измерения потенциостата. Важно лишь обеспечить стабильность условий измерения на протяжении всей развёртки по частоте.

9.5. Анализ графиков Найквиста и Боде

По завершении измерения первый шаг в анализе данных — визуальное изучение спектра. Следует рассмотреть оба представления — Найквиста и Боде. Многие практики предпочитают начинать с графика Найквиста. Лично автор находит представление Боде более информативным, поскольку оно чётко выявляет характеристические частоты и фазовое поведение. Наиболее полное понимание спектра достигается при совместном рассмотрении обоих представлений.

9.6. Валидация по критерию Крамерса–Кронига

Следующий шаг — проверка внутренней согласованности импедансных данных с помощью валидации по Крамерсу–Кронигу. Большинство современных программ для работы с потенциостатом включает встроенную процедуру для выполнения этого теста. Если спектр проходит проверку — анализ продолжается. Если данные не прошли тест — условия измерения следует пересмотреть и эксперимент повторить.

9.7. Выбор эквивалентной схемы

Выбор подходящей эквивалентной схемы нередко является наиболее трудоёмкой частью импедансного анализа. В простых случаях разумно начать со схемы Рэндлса и при необходимости постепенно усложнять её. В более сложных системах ситуация значительно усложняется. Всегда существует соблазн включить большое количество элементов схемы ради превосходной численной аппроксимации. Однако выбор схемы всегда должен определяться физическими соображениями, а не исключительно численной точностью.

9.8. Выбор подгоночных параметров

Качество процедуры аппроксимации нередко удаётся существенно улучшить путём фиксации ряда параметров. Один из наиболее полезных примеров — сопротивление раствора. Сопротивление электролита между электродами нередко можно измерить независимо, и его приближённое значение обычно известно заранее. Фиксация этого параметра уменьшает число степеней свободы и позволяет надёжнее определить остальные параметры.

По опыту автора, значение $\chi^2 \approx 10^{-4}$ и ниже, как правило, считается удовлетворительным.

9.9. Интерпретация физического смысла

Последний этап — и нередко наиболее сложный — состоит в интерпретации физического смысла подогнанных параметров. Этот этап требует опыта, знания литературы и определённой научной интуиции. В частности, необходимо решить, оправдано ли использование элемента постоянной фазы вместо идеального конденсатора физически, или это просто отражает избыточную гибкость аппроксимирующей модели.

Универсального правила для этого этапа не существует. Правильная интерпретация существенно зависит от конкретной исследуемой электрохимической системы.

Глава 10. Как не переинтерпретировать импедансные спектры

Электрохимическая импедансная спектроскопия — исключительно мощный метод изучения электрохимических систем. Анализируя частотно-зависимый

отклик системы, можно разделить процессы, протекающие на совершенно различных временных масштабах, и получить информацию о межфазных явлениях, которая нередко недоступна с помощью других методов.

Однако сама гибкость импедансного анализа порождает существенный риск: импедансные спектры нередко легче аппроксимировать, чем интерпретировать. Во многих случаях измеренный спектр с равным успехом описывается несколькими эквивалентными схемами. Математическое качество аппроксимации само по себе не гарантирует, что выбранная модель правильно отражает физические процессы, протекающие в системе.

Эквивалентные схемы — это модели, а не механизмы

Эквивалентные схемы обеспечивают удобное математическое представление импедансных спектров, однако их не следует отождествлять с непосредственным описанием лежащих в основе физических процессов.

Различные физические механизмы могут порождать импедансные отклики, поддающиеся аппроксимации схожими элементами схем. И наоборот: один и тот же физический процесс может проявляться по-разному в зависимости от соотношения задействованных временных масштабов.

Хорошая аппроксимация не гарантирует правильной интерпретации

Современное программное обеспечение для аппроксимации легко воспроизводит сложные импедансные спектры с высокой численной точностью. Тем не менее хорошая аппроксимация сама по себе не доказывает, что выбранная схема отражает истинное поведение системы.

Нередко равно хорошие аппроксимации получаются с различными топологиями схем. Без дополнительных физических соображений или независимых экспериментальных данных выбор между этими альтернативами может оказаться невозможным.

Важность независимых данных

Надёжная интерпретация импедансных спектров требует поддержки из других экспериментальных наблюдений. Примеры дополнительной информации: электрохимические измерения (поляризационные кривые), микроскопическая характеристика поверхности электрода, состав плёнок или продуктов коррозии, знание химии и транспортных свойств системы.

Постоянные времени важнее, чем отдельные элементы схемы

Один из ключевых выводов импедансного анализа состоит в том, что форма спектра нередко определяется прежде всего относительными величинами характеристических постоянных времени, а не детальными механизмами отдельных процессов. Как следствие, различные физические системы могут порождать весьма схожие импедансные спектры.

Импеданс как элемент широкого инструментария

При грамотном применении электрохимическая импедансная спектроскопия — один из наиболее информативных методов изучения электрохимических межфазных границ. Вместе с тем она наиболее эффективна как часть комплексного экспериментального подхода, а не в качестве единственного диагностического инструмента.

Заключительное замечание

Электрохимическая импедансная спектроскопия открывает окно в динамическое поведение электрохимических систем. Однако, как и любое окно, оно показывает лишь часть картины. Понимание того, что можно, а что нельзя вывести из импедансных спектров, — неотъемлемая часть ответственного использования метода.

Импедансный спектр редко доказывает механизм — зато нередко позволяет исключить многие невозможные.

Приложение. Распознавание особенностей графиков Найквиста и Бодэ

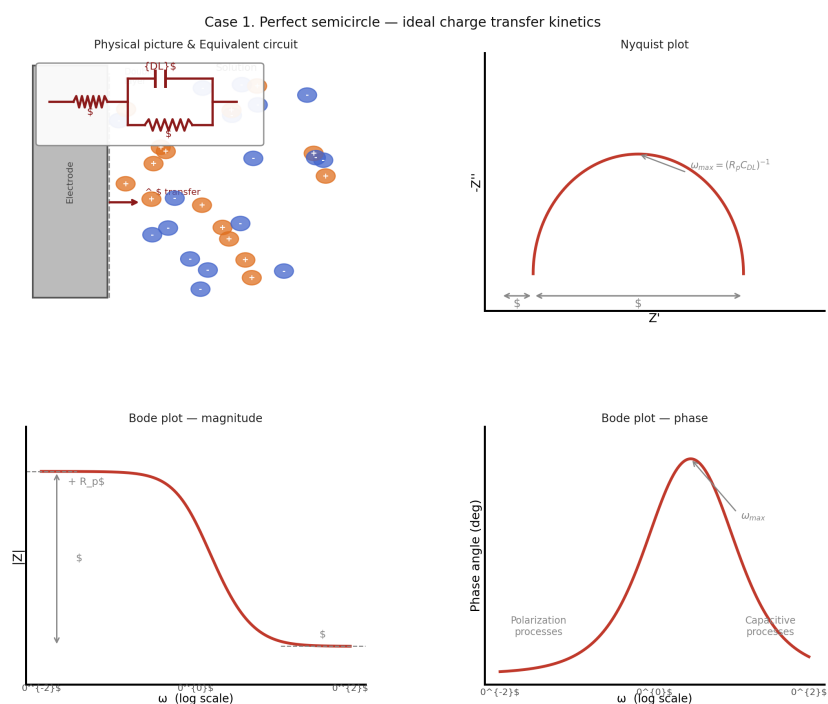
Идеальные предельные случаи

Эти случаи в реальности не встречаются. Скорее, они могут служить строительными блоками для более сложных схем, помогая понять явления, лежащие в основе наблюдаемых импедансных спектров.

Случай 1. Идеальная полуокружность — кинетика переноса заряда

На графике Найквиста — единственная идеальная полуокружность, указывающая на то, что электродный процесс определяется единственной RC-постоянной времени. Диаметр равен сопротивлению поляризации R_p ; высокочастотное пересечение оси даёт сопротивление раствора R_s . На фазовой диаграмме Бодэ — единственный симметричный пик. В идеальном случае максимальный угол сдвига фаз равен 90° .

Типичные сценарии: простые реакции внешнесферного переноса заряда на гладких электродах; хорошо определённое растворение металла при отсутствии поверхностных плёнок; модельные системы для отработки аппроксимации по эквивалентным схемам. В действительности этот сценарий

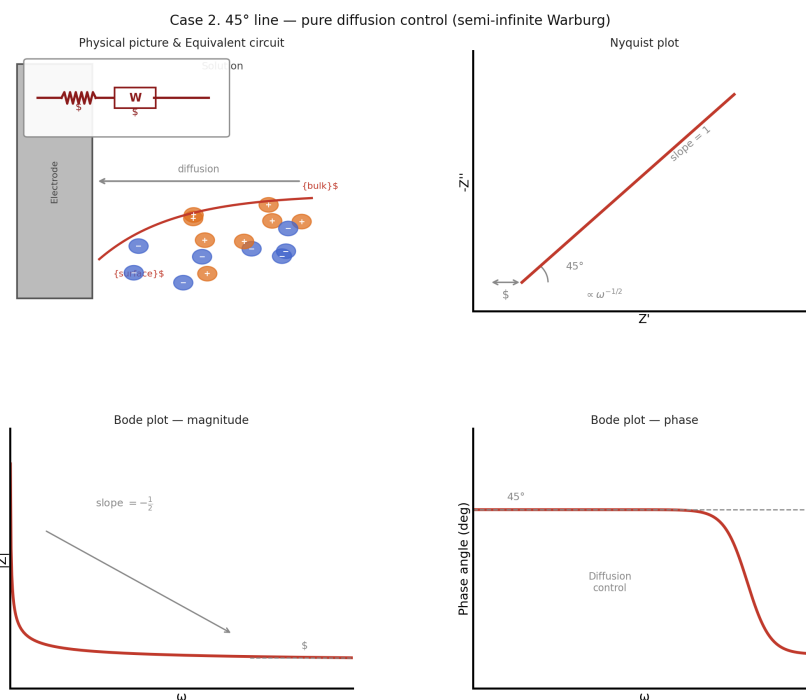


Случай 1. CR: Идеальная полуокружность — кинетика переноса заряда

практически не реализуется, поскольку сопротивление электролита R_s всегда больше нуля — вместо CR-схемы всегда используется R(CR), и график Найквиста смещён вправо на величину R_s .

Случай 2. Линия под углом 45° — чистый диффузионный контроль (полубесконечный Варбург)

На графике Найквиста — прямая линия под углом 45° к вещественной оси, указывающая на преобладание массопереноса посредством полубесконечной линейной диффузии во всём доступном частотном диапазоне. Вещественная и мнимая части импеданса меняются как $\omega^{-1/2}$.



Случай 2. RW: Линия под углом 45° — чистый диффузионный контроль (полубесконечный Варбург)

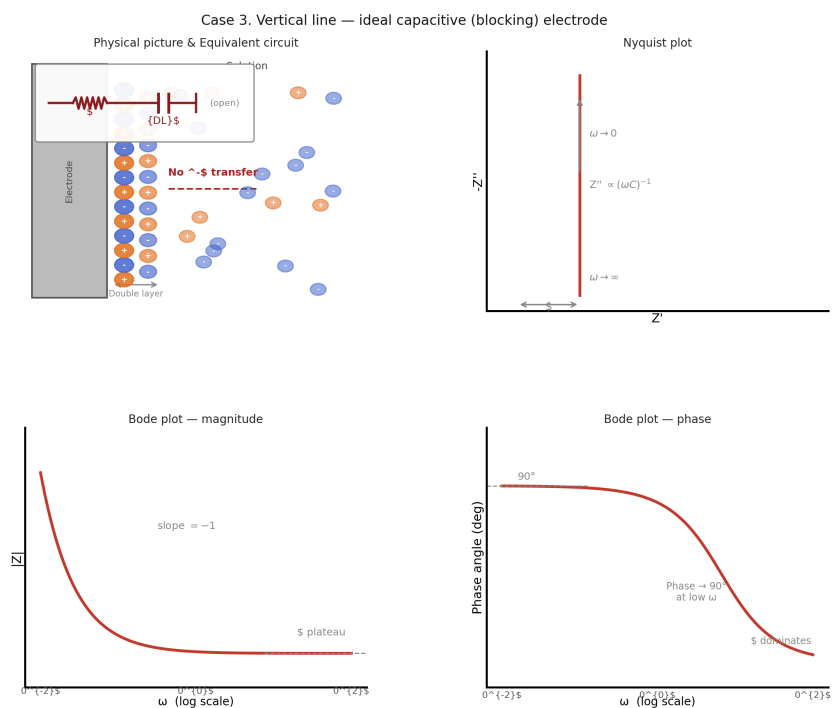
Типичные сценарии: электроосаждение или растворение при ограниченном подводе реагентов из объёма раствора; редокс-медиаторы в разбавленном растворе; электрод с вращающимся диском ниже тока насыщения; системы, в которых кинетика значительно быстрее диффузии. В действительности импеданс Варбурга всегда сопряжён с кинетической стадией, поэтому наиболее реалистичная схема — R(C(RW)).

Случай 3. Вертикальная линия — идеально поляризуемый (блокирующий) электрод

На графике Найквиста — вертикальная прямая, параллельная мнимой оси, — характерный признак чисто ёмкостного отклика при отсутствии фарадеевского переноса заряда. Модуль импеданса меняется как ω^{-1} , угол сдвига фаз стремится к 90°.

Типичные сценарии: идеально поляризуемые электроды (ртуть, углерод в инертном электролите); электроды, покрытые плотной изолирующей плёнкой;

электроды суперконденсаторов на низких частотах; характеристика двойного слоя при отсутствии редокс-активных частиц. На практике поведение может соответствовать схеме $R(C(R))$ (ток через изолирующий слой) или $R(CR)$ (локализованный процесс переноса заряда через прокол в изолирующем слое).



Случай 3. RC: Вертикальная линия — идеально поляризуемый (блокирующий) электрод

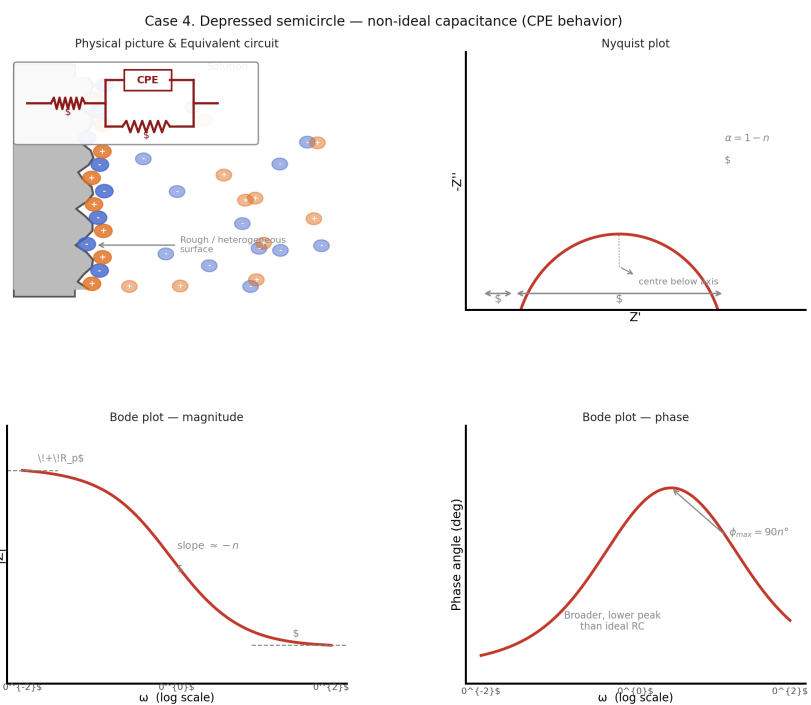
Этот случай может использоваться для контроля целостности покрытия: если наблюдаемый спектр на графике Найквиста близок к вертикальной прямой, покрытие можно считать неповреждённым.

Искажённые случаи

Случай 4. Уплощённая полуокружность — неидеальная ёмкость (поведение CPE)

Центр полуокружности расположен ниже вещественной оси, что свидетельствует о распределённых постоянных времени, а не об одиночном RC-элементе. Угол депрессии $\alpha = 90^\circ(1-n)$, где n — показатель степени CPE ($n = 1$ для идеального конденсатора, $n < 1$ для реальных поверхностей).

Типичные сценарии: шероховатые или поликристаллические поверхности электродов; неоднородность поверхности из-за границ зёрен или дефектов; адсорбция органических молекул на электроде; электроды с фрактальной



Случай 4. $R(QR)$: Уплотнённая полуокружность — неидеальная ёмкость (CPE)

геометрией. (В действительности ни один реальный электрод не имеет идеально гладкой поверхности. Поэтому любой реальный процесс переноса заряда следует описывать схемой $R(QR)$, а не $R(CR)$. Однако отклонения от идеального конденсатора нередко пренебрежимо малы, и схемы $R(QR)$ порой воспринимаются как дурной тон среди электрохимиков.)

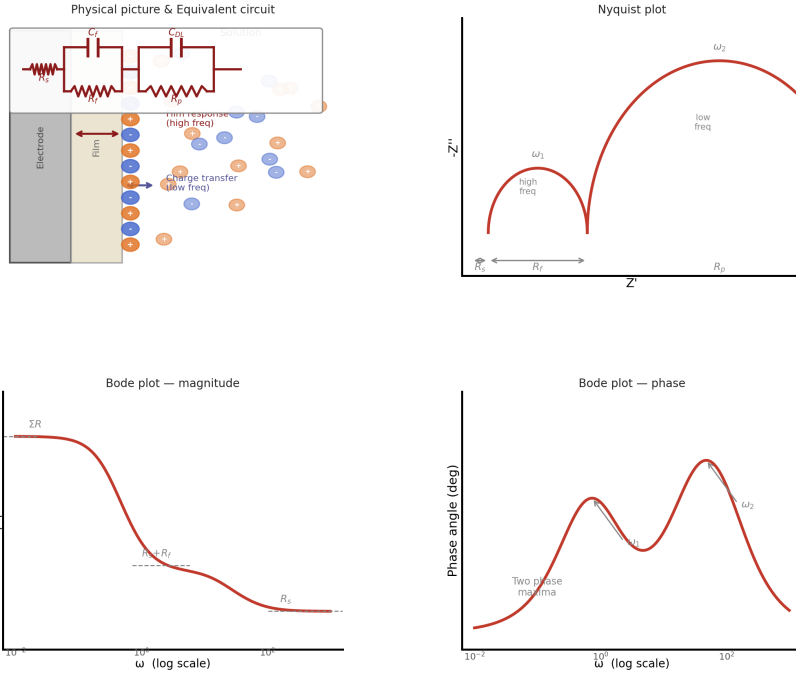
Случай 5. Две полуокружности — два разделённых постоянных времени

Два отчётливых полукруга указывают на два электрохимических процесса с хорошо разделёнными характеристическими частотами. Высокочастотный полукруг, как правило, соответствует более быстрому процессу (например, отклик плёнки или покрытия), тогда как низкочастотный — более медленному (например, перенос заряда).

В действительности это наиболее частый случай, когда две эквивалентные схемы объясняют физическую природу наблюдаемого спектра с одинаковым успехом: $R(CR)(CR)$ и $R(C(R(CR)))$. Математически обе схемы неразличимы — нет возможности определить, какая из них реализуется в данной ситуации.

Типичные сценарии: электрод, покрытый поверхностной плёнкой или пассивным слоем; коррозия с образованием оксидной плёнки; полимерные покрытия; пористые электроды, где различимы отклики объёма и пор.

Case 5. Two semicircles — two separated time constants

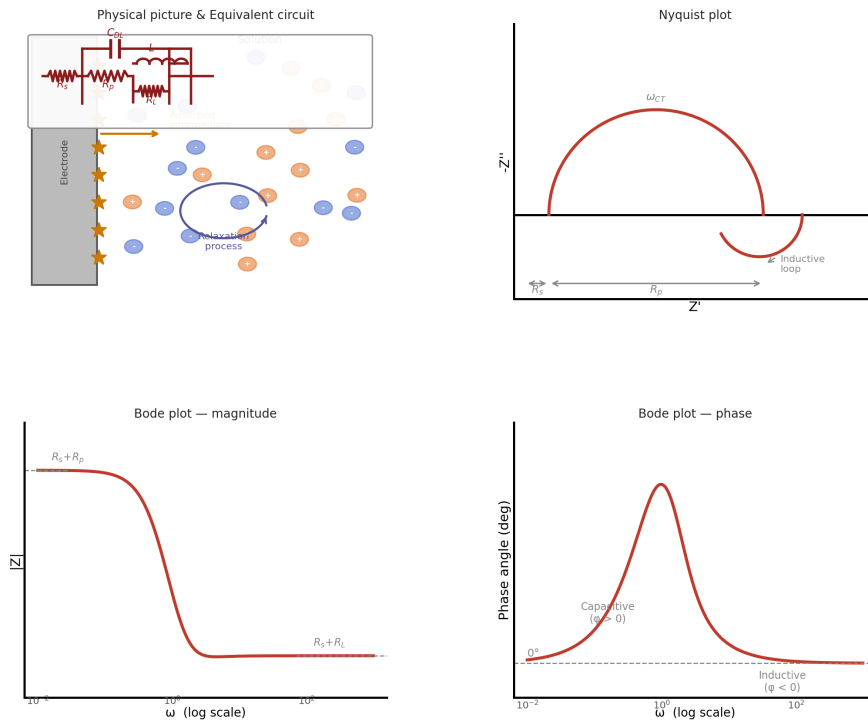


Случай 5. $R(CR)(CR)$ или $R(C(R(CR)))$: Две полуокружности — два разделённых постоянных времени

Случай 6. Индуктивная петля — адсорбция или релаксационные процессы

Индуктивная петля ниже вещественной оси на графике Найквиста указывает на то, что мнимая часть импеданса становится положительной ($Z'' > 0$) на средних

Case 6. Inductive loop — adsorption or relaxation processes



Случай 6. $R(C(R(RL)))$: Индуктивная петля — адсорбция или релаксационные процессы

и низких частотах. Это обусловлено релаксационным процессом с запаздыванием фазы, обычно связанным с адсорбцией реакционных интермедиатов.

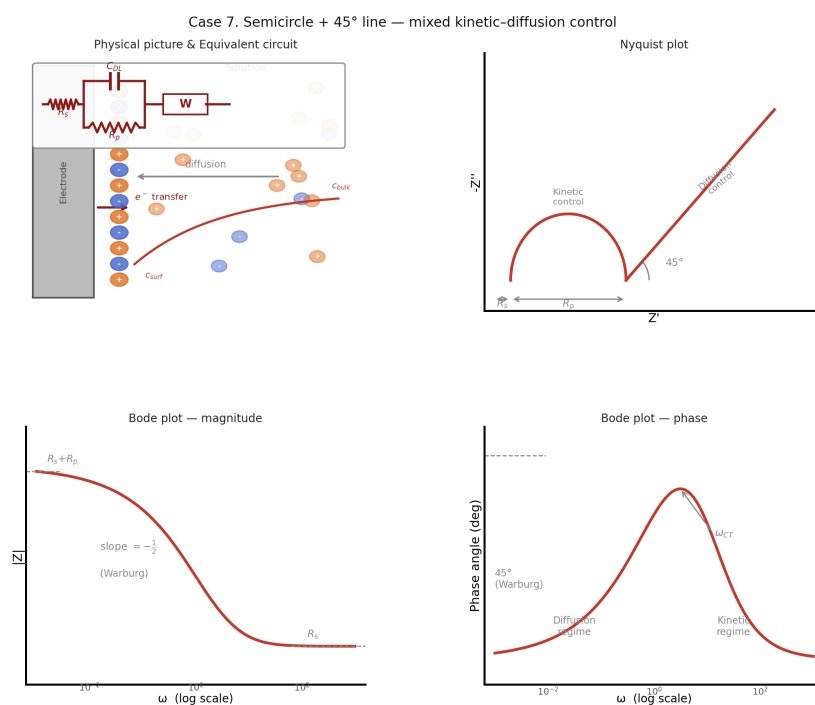
Типичные сценарии: реакция выделения водорода с адсорбированными интермедиатами H; коррозионные реакции с участием адсорбированных частиц; электрокатализ с поверхностно-связанными интермедиатами; растворение металлов с адсорбционными стадиями; процессы подпотенциального осаждения. Следует всегда помнить, что среди электрохимиков нет единого мнения о природе индуктивной петли. Сторонники её реального существования объясняют её сорбционным процессом; оппоненты ищут альтернативные чисто ёмкостные объяснения.

Смешанные случаи

Случай 7. Полуокружность + линия 45° — смешанный кинетически-диффузионный контроль

Классический отклик схемы Рэндлса: высокочастотная полуокружность (перенос заряда) переходит в линию Варбурга под углом 45° при более низких частотах. Частота перехода соответствует смене кинетического контроля диффузионным.

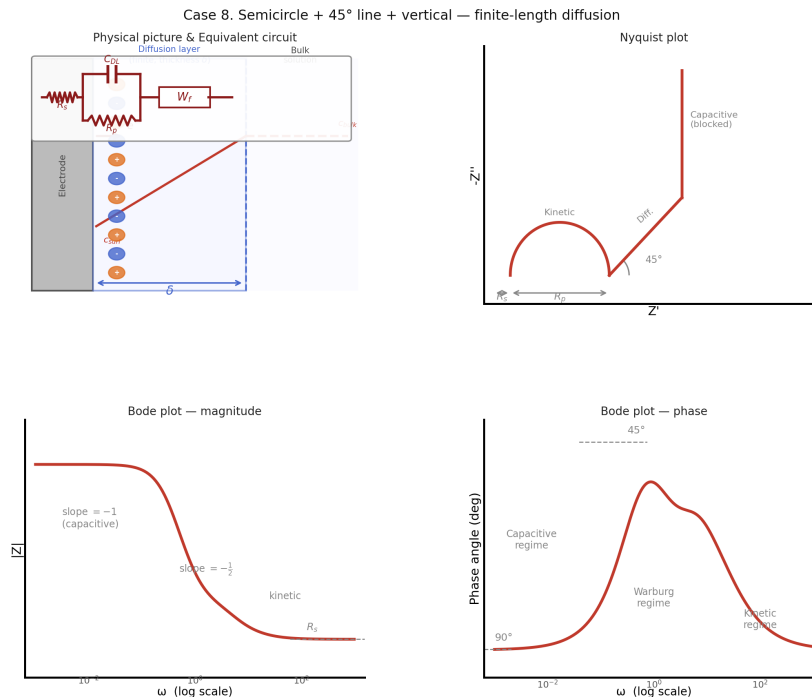
Типичные сценарии: обратимые и квазиобратимые редокс-пары в растворе; реакции на электродах батарей при умеренной плотности тока обмена; электрохимические сенсоры, где важны как кинетика, так и диффузия; коррозия в электролитах, где диффузия агрессивных частиц является лимитирующей стадией.



Случай 7. $R(C(RW))$: Полуокружность + линия 45° — смешанный контроль

Случай 8. Полуокружность + линия 45° + вертикальная линия — конечная диффузия (проницаемая граница)

Видны три области: высокочастотная кинетическая полуокружность, промежуточная область Варбурга 45°, и низкочастотная вертикальная линия, указывающая на диффузию через слой конечной толщины с проницаемой (трансмиссивной) границей.



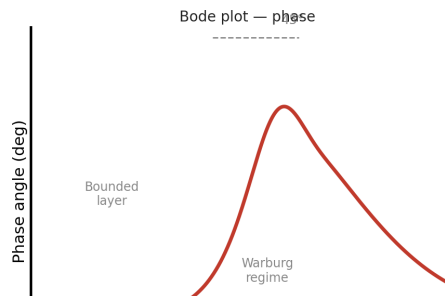
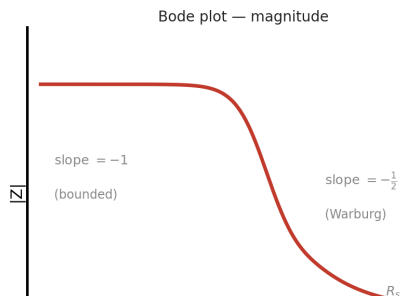
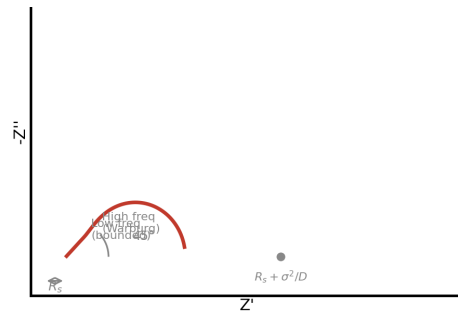
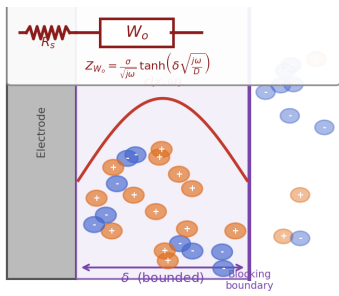
Случай 8. $R(CR)W$: Полуокружность + линия 45° + вертикальная линия — конечная диффузия (проницаемая граница)

Типичные сценарии: диффузия через мембрану с резервуаром на дальней стороне; тонкослойные электрохимические ячейки; слои твёрдого электролита (SEI) с ионной проводимостью; диффузия интеркалирующих частиц в тонкоплёночном электроде, открытом для электролита.

Случай 9. Конечный Варбург (отражающий) — диффузия в ограниченном слое

Схож со случаем 8 на высоких частотах, однако в низкочастотном пределе кривая приближается к вещественной оси, а не становится вертикальной. Это отражает отражающую (блокирующую) границу: частицы не могут пересечь дальнюю сторону диффузионного слоя, и на очень низких частотах система ведёт себя ёмкостно.

Типичные сценарии: интеркаляционные электроды (катод/анод литий-ионного аккумулятора), где Li^+ диффундирует внутри конечной твёрдой частицы;

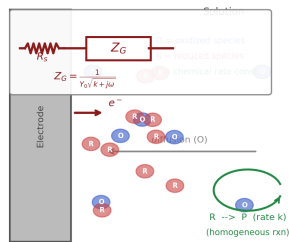


Случай 9. RW_o : Конечный Варбург (отражающий) — диффузия в ограниченном слое

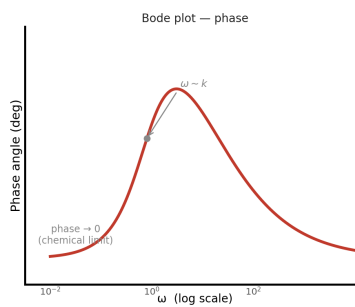
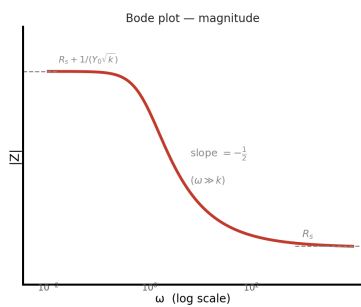
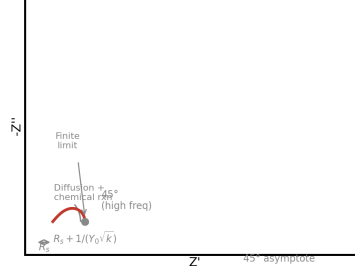
диффузия ионов в мембране, запаянной с одного конца; диффузия в тонкой полимерной плёнке на блокирующей подложке; пористый электрод с закрытыми порами.

Case 10. Gerischer impedance — diffusion coupled with homogeneous chemical reaction

Physical picture & Equivalent circuit



Nyquist plot



Случай 10. RG : Импеданс Гершера — диффузия с гомогенной химической реакцией

Случай 10. Импеданс Геришера — диффузия с гомогенной химической реакцией

На графике Найквиста — уплощённая дуга, не замыкающаяся в полную окружность: берёт начало под углом 45° на высоких частотах и изгибается к вещественной оси. В отличие от Варбурга, отклик не продолжается до бесконечности — он достигает конечного низкочастотного предела, определяемого скоростью сопряжённой химической реакции.

Типичные сценарии: электрокаталитические реакции с гомогенными химическими стадиями (ЕС- или СЕ-механизмы); ферментативные электроды; реакция восстановления кислорода с последующими химическими стадиями; реакции в буферных растворах, где химическое равновесие вносит вклад в импеданс; электроды топливных элементов с сопряжённой газофазной химией.

— Конец —